

75. — **Apanteles achaeus** sp. n.

(Fig. 185-187.)

♀ : noire; pattes I (sauf les hanches), bords latéraux membraneux du tergite I, parties latérales du II et III parfois entièrement (sauf un assombrissement discal plus ou moins étendu), rouge testacé; pattes II (sauf les hanches), fémurs plus ou moins à la base et tibias confusément dans la moitié basale, apex des hanches I, II et extrême apex des hanches III, rouge testacé foncé à brunâtre; pattes ailleurs brunâtres à brun noirâtre; tegulae et sclérites axillaires, jaune-rouge testacé; palpes et éperons des tibias, pâles à rouge testacé; nervures pâles, 1^{re} abcisse de la médiane et de l'anale, incolores; stigma brun opaque.

♀. *Tête* : face un peu plus large que longue, assez mate, faiblement proéminente médialement et portant à la partie supérieure un court tronçon de carène médiane lisse et brillant, tégument à très petite ponctuation assez imprécise; ostioles faciales beaucoup plus près de l'apex du clypéus que des yeux; clypéus différencié de la face; vertex lisse et brillant; occiput légèrement satiné, ponctué environ comme la face; espace oculo-ocellaire plus grand que la distance séparant les ocelles postérieurs; antennes à peine plus longues que le corps, effilées distalement; 1^{er} article du flagellum environ 3 fois plus long que large (10 : 3), articles apicaux un peu allongés (fig. 185).

Thorax : mésonotum plat, densément ponctué (degré 3) antérieurement, plus fortement (degré 3-4) postérieurement, à petites soies courtes; sillon préscutellaire droit, assez profond, vaguement crénelé; disque du scutellum brillant portant quelques gros pointillés superficiels; mésopleures marqués d'un grosse ponctuation bien séparée antérieurement, lisses discalement jusqu'au bord coxal, parfois un peu aciculés, cochléar à forte dépression médiane et parfois fortement aciculé; protubérance humérale séparée du pleure par un sillon fort et étroitement crénelé; suture méso-métapleurale lisse; métapleures lisses antérieurement, partie postérieure à petite rugosité réticulaire, sillon médian faible; propodeum à carène longitudinale médiane crénelée, entièrement ruguleux sauf près de l'apex où il est plus brillant et parcouru par quelques carènes secondaires, vaguement ponctué dans la moitié basale.

Ailes : 1^{re} abcisse de la radiale naissant au tiers distal du stigma, de longueur égale à la largeur de celui-ci, très faiblement incurvée et formant un angle faible avec la transverso-cubitale, qui est un peu plus courte, leur point de jonction marqué par un petit tronçon court; partie apicale de la 1^{re} abcisse de la cubitale punctiforme et à peu près égale aux 2/3 de la longueur de la transverso-cubitale et de la récurrente; stigma plus court que le métacarpe (fig. 186).

Pattes III : hanches mates et finement ruguleuses, sétifères seulement vers la partie inférieure, 3 ou 4 gros pointillés apparaissent sur la facette plane en dessus à la base; fémurs à petite ponctuation. Proportions : hanches, 16/30; fémurs, 12/42; tibias, 8/48; tarsi : I, 24; II, 11; III, 8; IV, 7; V, 8; le plus long éperon des tibias la 1/2 et le plus court le 1/3 de la longueur des métatarses.

Abdomen (fig. 187) : tergite I assez mat, excavé à la base, à bords latéraux relevés dans la moitié basale, entièrement rugueux, moins fortement dans la partie médiane et recourbé un peu au delà du milieu, sa longueur médiane 1,8 fois plus longue que sa largeur apicale, 2 fois sa largeur basale et 1,42 fois sa plus grande largeur située au 1/4 apical (20 : 11 : 10 : 14), ses

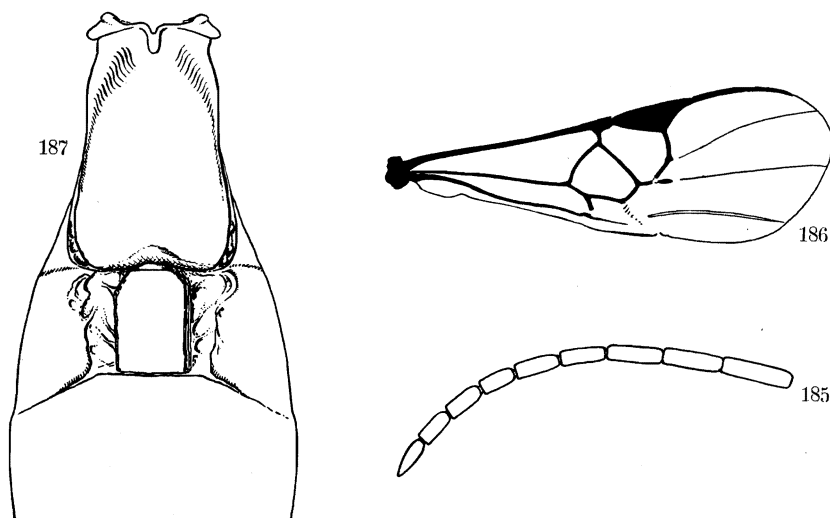


Fig. 185-187. — *Apanteles achaeus* sp. n. ♀.

Fig. 185. — Sommet de l'antenne.

Fig. 186. — Détail de la nervation de l'aile antérieure.

Fig. 187. — Détail des trois premiers tergites abdominaux.

bords latéraux légèrement sinueux, divergents jusqu'au 1/4 apical et ensuite franchement incurvés vers l'apex émarginé, dont les angles sont ainsi largement arrondis; tergite II orné d'une aire médiane rectangulaire, à peine plus longue que large, plate, un peu mate, finement ruguleuse, bordée latéralement par de larges sillons irréguliers, brillants et vaguement rugueux, sa longueur médiane 1,22 fois plus courte que largeur apicale du I et 1,28 fois plus longue que sa propre largeur (9 : 11 : 7); 2^o suture droite médialement et fortement oblique latéralement; tergite III, 1,33 fois plus long que le II (12 : 9), légèrement satiné et portant quelques rares soies; tergites suivants lisses et brillants, leur ponctuation très petite et rare;

hypopygium tronqué, mais l'angle formé à l'apex est légèrement aigu, par suite, la partie tronquée et le bord supérieur forment un angle obtus très faible; valves de la tarière à peine exsertes.

Longueur : 2,6 à 3 mm.; ♂ inconnu.

DISTRIBUTION GÉOGRAPHIQUE : Bitale, lac Bulero, Ruanda (alt. 1.862 m., 10-11.IX.1934), holotype ♀; Ruhengeri, sources Kirii, Ruanda. (alt. 1.800-1.825 m., 2-3.X.1934); Bulengo, Mugunga (alt. 1.560 m., 31.I.1934); 4 exemplaires.

AFFINITÉS : Cette espèce est très voisine de l'espèce éthiopienne *Ap. neavei* WILKN., dont elle se différencie immédiatement par le 1^{er} tergite plus large à l'apex qu'à la base et l'aire médiane du 2^e tergite plus courte.

[76. — **Apanteles mlanje** WILKINSON.]

Apanteles mlanje WILKINSON, Bull. Ent. Res., XX, 1929, p. 449, ♂ ♀.
Nyasaland.

Hôte et cocon, inconnus.

[**Apanteles mlanje nigricoxis** WILKINSON.]

Apanteles mlanje nigricoxis WILKINSON, Trans. Ent. Soc. Lond., LXXX, 1932, p. 308, ♂ ♀, ssp.

Uganda : Kampala.

Hôte : inconnu. *Cocons* : jaune verdâtre, entassés comme ceux de *Ap. glomeratus* L.

a) **Apanteles mlanje mimus** ab. n.

Semblable à la description de *Ap. mlanje* WILKN., excepté les caractères suivants :

♀ : hanches III rouge testacé, sauf à la base ou l'extrême base; scapes noirs; moitié basale de la nervure costale, bords latéraux membraneux des tergites I et II et parfois partiellement, ceux du III, ainsi qu'occasionnellement une bande apicale à ce dernier, rouge testacé; apex des fémurs III en dessus et apex des tibias, légèrement enfumés; ailes faiblement enfumées entièrement, légèrement jaunâtres.

♀ : tergite I peu proéminent médialement dans la moitié apicale; sillons discaux convergents du tergite II, forts, larges et bien marqués; 2^e suture latéralement plus oblique que chez *Ap. mlanje*.

♂ : semblable à la ♀, n'en diffère que par la coloration des hanches III, progressivement rouge testacé-dans la moitié apicale et la nervure costale entièrement brune.

DISTRIBUTION GÉOGRAPHIQUE : Rweru, volcan Mikeno, forêt de Bambous (alt. 2.400 m., 26-27.VII.1934), holotype ♀ et paratypes; vers Rweru, forêt de Bambous (alt. 2.400 m., 12.VII.1934); Mont Sesero, près de Bitashimwa,

forêt de Bambous (alt. 2.000 m., 1-2.VIII.1934); Burunga, Mokoto (alt. 2.000 m., 15-16.III.1934); Nyarusambo (alt. 2.000 m., 30.VI-2.VII.1934); 15 exemplaires : 1 ♂, 14 ♀.

b) *Apanteles mlanje metus* ab. n.

♂ ♀ : ne diffèrent de l'aberration précédente que par les caractères suivants :

Hanches III rouge testacé, sauf le 1/4 ou le 1/3 basal; moitié apicale des tibias et tarses des pattes III, noirâtres, la tache apicale des fémurs ordinairement plus forte; costale unicolore ou à peine légèrement plus claire à la base.

DISTRIBUTION GÉOGRAPHIQUE : Rutshuru (alt. 1.285 m., 29-31.V.1935, 2 et 6.VI.1935), holotype ♀ et paratypes; Rutshuru, riv. Fuku (alt. 1.250 m., 2 et 4.VII.1935); Tshumba, Mushari (alt. 2.100 m., 28.IV-1.V.1934); Kitondo, près de Gandjo (alt. 2.000 m., 7-23.I.1935); forêt près de Kamatembe (alt. 2.200 m., 12.IV.1934); Mayumbu, volcan Nyamuragira (alt. 2.100 m., 14-26.VI.1935); mont Sesero, près de Bitashimwa, forêt de Bambous (alt. 2.000 m., 1-2.VIII.1934); Kanyabayongo, Kabasha (alt. 1.760 m., 8.XII.1934). allotype ♂ et 1 paratype; Sake, lac Kivu (alt. 1.460 m., 19-22.II.1934); vers Rweru, volcan Mikeno, forêt de Bambous (alt. 2.400 m., 26-27.VII.1934); lac Magera (alt. 2.000 m., 6.III.1934); Nyongera, près de Rutshuru (alt. 1.218 m., 22.VII.1935); Kamatembe, forêt primaire (alt. 2.100 m., 15-20.IV.1934); Burunga, Mokoto (alt. 2.000 m., 17-19.III.1934); vers Kamatembe (vers 2.300 m., 7-23.I.1935); mont Kamatembe, riv. Bishakishaki, forêt (alt. 2.100 m., 14-17.IV.1934); Rutshuru, riv. Kanzarue (alt. 1.200 m., 15.VII.1935); Rutshuru, riv. Musugereza (alt. 1.100 m., 4.VII.1935); 42 exemplaires : 16 ♂♂, 26 ♀♀.

c) *Apanteles mlanje nox* ab. n.

♂ ♀ : ne diffèrent de *Ap. mlanje mimus*, que par les caractères suivants :

Scapes faiblement rougeâtres partiellement; hanches III noires, environ dans la 1/2 basale; tibias III fortement noircis dans les 2/3 ou les 3/4 apicaux; tarses également très sombres; costale sombre. Les deux exemplaires ♂♂ réunis à cette aberration ont les hanches III noires, excepté à l'apex ou l'extrême apex et plus largement en dessous.

DISTRIBUTION GÉOGRAPHIQUE : Rutshuru, riv. Kanzarue (alt. 1.285 m., 6-7.VI.1935, 3-4-13 et 15.VII.1935), allotype ♂ et 1 paratype ♀; vers Rweru, volcan Mikeno, forêt de Bambous (alt. 2.400 m., 26-27.VII.1934); Tshengelelo, près de Munagana (alt. 1.750 m., 21.VIII.1934); mont Sesero, près de Bitashimwa, forêt de Bambous (alt. 2.000 m., 1-2.VII.1934); Nyongera, près de Rutshuru, Butumba (alt. 1.218 m., 17.VII.1935); Rutshuru, riv. Lubirizi (alt. 1.285 m., 13.VII.1935); Rutshuru, riv. Fuku (alt. 1.250 m., 5.VII.1935); 16 exemplaires : 11 ♂♂, 5 ♀♀.

Il est difficile d'estimer si ces variantes sont valables, les caractères qui les séparent paraissent avoir tendance à s'enchevêtrer, mais d'une façon si ténue qu'il serait nécessaire d'en étudier de grandes séries pour être fixé. Les caractères plastiques sont ceux de *Ap. mlanje* WILKN.; je relève, toutefois, les points suivants non signalés dans la diagnose de WILKINSON : aspect du mésonotum et du disque du scutellum légèrement satiné; propodeum, pour la plus grande partie, mat; tergites abdominaux plus ou moins mats. Chez tous ces spécimens, le sommet de la nervure basale n'est pas particulièrement long, paraissant toujours plus court que la partie apicale de la 1^{re} abcisse de la cubitale et la nervure radiale prend naissance au tiers distal du stigma.

Il se peut que ces exemplaires ne soient pas de vrais *Ap. mlanje*, mais il est impossible de les séparer sur les données fournies par la diagnose de cette espèce.

77. — **Apanteles hiero** sp. n.

(Fig. 188-189.)

Cette espèce correspond à la description de *Ap. mlanje nigricoxis* WILKN., elle en diffère par les caractères suivants :

♀ : tegulae franchement sombres; coloration rouge testacé des pattes, très rouge, fémurs III entièrement de cette couleur; tibias III très sombres, à peine plus clairs dans le tiers basal; tarses I et II assombris, III brun noirâtre comme les tibias.

♀. *Thorax* : ponctuation du scutellum rare, très superficielle, à peine apparente; propodeum mat, ruguleux à rugueux, plus finement à la base où la ponctuation n'est pas discernable, carène longitudinale médiane disparaissant vers le tiers apical dans la rugosité et entre deux courtes carènes divergentes partant de la lunule médi-apicale.

Ailes : partie apicale de la 1^{re} abcisse de la cubitale distinctement plus longue que le sommet de la basale et un peu plus courte que la récurrente (fig. 189).

Pattes III : hanches lisses, à peine quelques rares gros pointillés apparaissant sur la face supérieure, l'aciculation vers l'apex très petite. Proportions : hanches, 22/38; fémurs, 13/46; tibias, 9/53; tarses : I, 27; II, 13; III, 10; IV, 8; V, 8; le plus long éperon des tibias la moitié et le plus court un peu plus du tiers de la longueur des métatarses.

Abdomen : tergite I excavé et ruguleux dans le quart basal, faiblement courbé et peu proéminent dans la partie apicale, rugueux dans les 3/4 apicaux, apex émarginé et portant une petite aire médiane lisse et brillante, sa longueur médiane environ 1,5 fois sa largeur apicale qui est peu plus longue que sa largeur basale et 1,47 fois sa plus grande largeur située au quart apical (21 : 13 : 10 : 17), ses bords latéraux divergents jusqu'au quart apical et convergents ensuite vers l'apex dont les angles sont arrondis et

bordés latéralement par une expansion latérale plus ou moins fovéolée; aire médiane du tergite II en trapèze allongé, son sommet 1,6 fois plus court que sa base, qui est elle-même égale aux $\frac{2}{3}$ de la largeur apicale du I et de sa propre longueur médiane (5 : 8 : 13 : 13), cette aire porte une petite sculpture rugueuse dans la moitié basale, lisse ailleurs, plate et un peu surélevée, les sillons qui la délimitent, très larges à la base, plus larges que l'apex du I, profondément marqués et fortement sculptés, à l'apex ces sillons se continuent en une ligne courbe pour former la 2^e suture latéralement à l'aire médiane, assez bien comme il est figuré pour *Microgaster indica* WILKINSON (1929b, p. 110). mais les branches latérales de la 2^e suture sont plus obliques

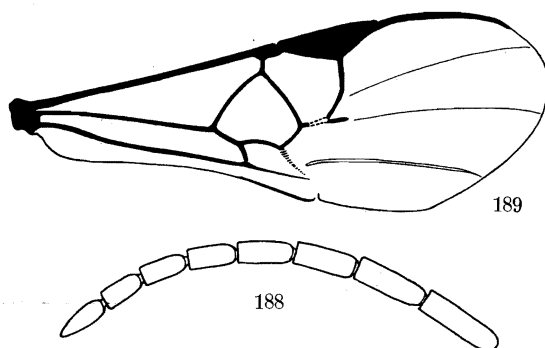


Fig. 188-189. — *Apanteles hiero* sp. n. ♀.

Fig. 188. — Sommet de l'antenne.

Fig. 189. — Détail de la nervation de l'aile antérieure.

antéro-postérieurement; tergite III de même longueur médiane que le II, lisse et brillant comme les suivants et portant une très petite ponctuation apicale; hypopygium aigu; valves de la tarière à peine exsertes.

♂ : semblable à la ♀, mais la sculpture des tergites I et II beaucoup moins forte, l'aire médiane du II est plus étroite et les sillons discaux moins largement sculptés, la moitié basale de cette aire est distinctement sculptée, quoique plus faiblement.

Un exemplaire ♀ est rattaché à cette espèce par l'ensemble des caractères, mais la sculpture est beaucoup moins caractérisée, l'aire médiane du tergite II n'est pas franchement sculptée dans la moitié basale, elle est plutôt aciculée latéralement, mais l'incurvation de la 2^e suture, prolongeant latéralement les sillons discaux, est bien la même.

Longueur : 3,2 mm.

DISTRIBUTION GÉOGRAPHIQUE : Rutshuru (alt. 1.285 m., 11.VII.1935), holotype ♀, idem (12.VII.1935), allotype ♂ et 1 ♀; 3 exemplaires : 1 ♂ et 2 ♀♀.

AFFINITÉS : Cette espèce, très affine de *Ap. mlanje* WILKN., s'en distingue cependant par une plus forte rugosité du tergite I, la sculpture des sillons du tergite II et un hypopygium nettement aigu.

78. — *Apanteles neleus* sp. n.

(Fig. 190-192.)

♂ ♀ : noirs; pattes I et II (sauf les tarsi II), hanches III (sauf le 1/3 basal) trochanters, trochantelles, fémurs (sauf une légère enfumure apicale) et épérons des tibias des pattes III, sternites de la base, bords latéraux membraneux du tergite I et largement les parties latérales du II, rouge testacé; tibias III rougeâtres, progressivement enfumés vers l'apex; tarsi II brunâtres; tarsi III brun noirâtre; palpes assez pâles; ailes légèrement enfumées

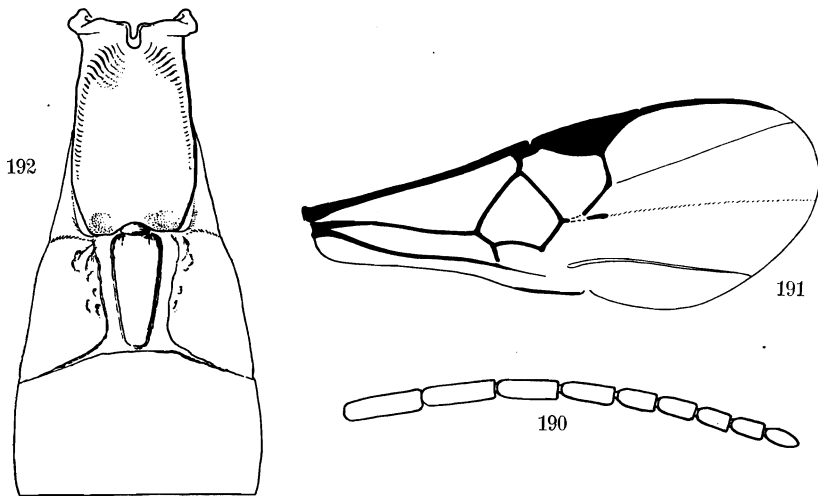
Fig. 190-192. — *Apanteles neleus* sp. n. ♀.

Fig. 190. — Sommet de l'antenne.

Fig. 191. — Détail de la nervation de l'aile antérieure.

Fig. 192. — Détail des trois premiers tergites abdominaux.

entièrement; nervures brun clair; stigma brun sombre, opaque; chez le ♂ la partie sombre de la base des hanches III s'étend en traces rougeâtres plus ou moins étendues vers l'apex.

♂ ♀. *Tête* : face aussi large que longue, brillante et, comme vertex et occiput, très légèrement ponctuée, faiblement proéminente médialement; clypéus différencié de la face; ostioles faciales plus près de l'apex du clypéus que des yeux; espace oculo-ocellaire plus grand que la distance séparant les ocelles postérieurs.

Thorax : mésonotum brillant, à petite ponctuation (degré 2) devenant plus faible (degré 1) vers l'apex et y disparaissant tout à fait; sillon préscutellaire droit, mince, légèrement crénelé; propodeum lisse et brillant dans la moitié basale et portant vers l'apex quelques carènes secondaires peu marquées, carène longitudinale médiane complète et légèrement crénelée.

Ailes : 1^{re} abcisse de la cubitale à peine plus courte que la largeur du stigma, environ 1/6 plus courte que la transverso-cubitale, plus mince et formant un angle avec elle; partie apicale de la 1^{re} abcisse de la cubitale égale à la moitié de la transverso-cubitale et environ égale aux 2/3 de la récurrente; stigma plus court que le métacarpe (fig. 191).

Pattes III : hanches étroites, lisses et brillantes, sauf quelques pointillés sur la facette plane en dessus à la base; fémurs petitement ponctués, à très faible aciculation. Proportions : hanches, 14/32; fémurs, 9/42; tibias 8/50; tarsi : I, 24; II, 13; III, 10; IV, 8; V, 8; le plus long éperon des tibias un peu plus de la moitié et le plus court le tiers de la longueur des métatarses.

Abdomen (fig. 192) : tergite I brillant, excavé, lisse à vaguement rugueux à la base, légèrement proéminent dans le 1/3 apical, plus ou moins rugueux et portant quelques gros pointillés aux environs de ce tiers où il est courbé, lisse et brillant près de l'apex, celui-ci relevé médialement et déprimé en fovoies sur les côtés, sa longueur médiane 2,6 fois sa largeur à l'extrême apex, 1,8 fois sa largeur basale et 1,63 fois sa plus grande largeur, située environ au tiers apical (18 : 7 : 10 : 11), ses bords latéraux légèrement divergents jusqu'au 1/3 apical ensuite légèrement incurvés et convergents vers l'apex fortement échancré, angles apicaux faiblement arrondis; tergite II brillant, portant une aire médiane étroite, triangulaire et surélevée, 2,5 fois plus longue que large à la base, sillons discaux bien marqués et à peu près lisses, parties latérales portant quelques soies, très petites, au tiers apical; longueur médiane du tergite II, 1,42 fois la largeur apicale du I et 1,3 fois plus courte que celle du III (10 : 7 : 13); 2^e suture bien marquée, latéralement oblique antéro-postérieurement; tergites III et suivants, lisses et brillants et portant quelques petites ponctuations rares; hypopygium court et aigu; valves de la tarière à peine exsertes, étroites.

Longueur : 2,6 mm.

DISTRIBUTION GÉOGRAPHIQUE : Mont Sesero, près de Bitashimwa, forêt de Bambous (alt. 2.000 m., 1-2.VIII.1934), holotype ♀; vers Rweru, volcan Mikeno, forêt de Bambous (alt. 2.400 m., 3.VII.1934), allotype ♂; 2 exemplaires : 1 ♂, 1 ♀ + 1 ♀.

Un exemplaire ♀, originaire de Rutshuru (1-6.VI.1935), est rapporté avec doute à cette espèce; l'enfumure apicale des fémurs III est plus forte, 2/3 apicaux des tibias noirâtres, ponctuation du mésonotum un peu plus forte jusqu'au sillon préscutellaire; disque du scutellum ponctué à peu près de même; propodeum plus mat et portant une petite ponctuation sétigère distincte dans la moitié basale; aire médiane du tergite II de forme semblable, mais mate.

Les caractéristiques de cette espèce, en dehors de la forme de l'aire médiane du tergite II, résident dans la ponctuation du mésonotum, les tegulae noires, la longueur de la nervure transverso-cubitale et les hanches postérieures plus de 2 fois plus longues que larges.

79. — **Apanteles bifissus** sp. n.

(Fig. 193-197.)

♀ : noire; pattes I et II y compris les hanches (celles-ci présentant parfois une trace noire près de la base et l'article apical des tarses est toujours sombre), moitié ou tiers apical des hanches, trochanters, trochantelles, fémurs et tibias des pattes III (ces derniers enfumés progressivement de la base à l'apex où ils sont aussi sombres que les tarses; les fémurs présentent parfois aussi une enfumure apicale sur la face supérieure), éperons des tibias et sternites de la base, rouge testacé; palpes jaune testacé; apex des tibias III et tarses III, nervation et stigma, bruns, ce dernier opaque; ailes légèrement enfumées entièrement.

♀. *Tête* : face aussi longue que large, brillante, portant une ponctuation extrêmement fine et un faible tronçon de carène médiane à la partie supérieure; clypéus différencié de la face; ostioles faciales plus près de l'apex du clypéus que des yeux; vertex et occiput virtuellement lisses, brillants; espace oculo-ocellaire plus grand que la distance séparant les ocelles postérieurs, antennes de la longueur du corps, effilées distalement; 1^{er} article du flagellum 3,5 fois plus long que large (11 : 3), articles préapicaux 2 fois plus longs que larges, tous les articles à sensilla espacés et très visibles (fig. 193).

Thorax : mésonotum brillant, à petite ponctuation (degré 2 et peut être même 3) assez irrégulière et plus dense antérieurement, totalement absente sur une grande aire apicale qui laisse une marge latérale ponctuée; sillon présutellaire droit, faible, irrégulièrement ponctué; disque du scutellum à très faible convexité, lisse et brillant; méso- et métapleures lisses et brillants; propodeum brillant ou un peu mat, orné seulement d'une carène longitudinale médiane, plus ou moins ruguleuse, dans la moitié apicale, quelques très courtes soies apparaissent près de la carène médiane à la base, sans, toutefois, qu'une ponctuation soit discernable, stigmates circulaires, un peu plus grands que la normale.

Ailes : 1^{re} abcisse de la radiale et transverso-cubitale régulièrement incurvées ou formant un angle très faible, leur point de jonction pas ou à peine discernable; partie apicale de la 1^{re} abcisse de la cubitale égale ou un peu plus courte que la partie pigmentée de la 2^e abcisse, environ la moitié de la longueur de la récurrente et parfois presque égale au sommet de la basale; stigma un peu plus court que le métacarpe.

Pattes III : hanches lisses et brillantes sur la face supérieure et la majorité de la face externe, quelque peu aciculées vers l'apex et à petite ponctuation dense à la face inférieure. Proportions : hanches, 15/23; fémurs, 10/35; tibias, 7/44; tarses : I, 22; II, 11; III, 9; IV, 7; V, 7; le plus long éperon des tibias un peu moins de la moitié et le plus court le tiers de la longueur des métatarses.

Abdomen (fig. 194) : tergite I excavé et à bords latéraux relevés dans les 2/3 basales, légèrement convexe dans le 1/3 apical, brillant et rugueux, plus fortement vers l'apex, sauf la partie la plus excavée à la base et une grande aire occupant le tiers médian dans la partie apicale, qui sont absolument lisses, de part et d'autre de cette aire apparaît une ponctuation confondue avec la sculpture du tégument; longueur médiane du tergite I 1,63 fois sa largeur apicale, 1,8 fois sa largeur basale et 1,28 fois sa plus grande largeur située au quart apical (18 : 11 : 10 : 14), ses bords latéraux divergents jusqu'au quart apical, ensuite largement incurvés jusqu'à l'apex tronqué, le quart api-

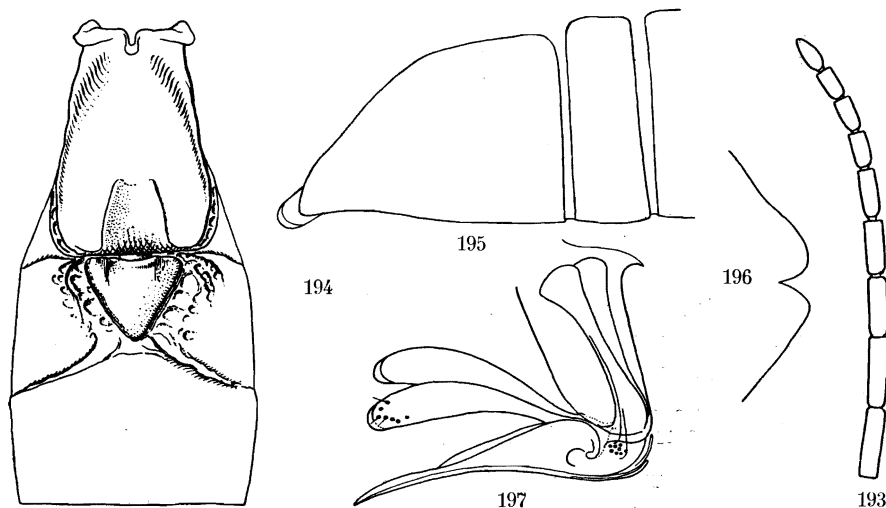


Fig. 193-197. — *Apanteles bifissus* sp. n. ♀.

Fig. 193. — Sommet de l'antenne.

Fig. 194. — Détail des trois premiers tergites abdominaux.

Fig. 195. — Hypopygium, vu de profil. Fig. 196. — Apex de l'hypopygium, ouvert.

Fig. 197. — Genitalia, vu de profil.

cal est élargi par des expansions latérales étroites et plus ou moins fovéolées; tergite II orné d'une aire médiane cordiforme, lisse et brillante, faiblement convexe, à base plus étroite que l'apex du I et dont le sommet n'atteint pas la 2^e suture, cette aire est bordée latéralement par de larges sillons superficiels et plus ou moins irrégulièrement sculptés, sa longueur médiane un peu plus courte que sa largeur basale (7 : 8) et la longueur médiane du tergite légèrement plus courte que la largeur apicale du I; 2^e suture bien marquée et oblique latéralement; tergite III environ 1,44 fois plus long que le II et, comme les suivants, lisse, brillant et sans ponctuation apparente; hypopygium aigu, faiblement arrondi à l'apex et légèrement courbé vers le bas, l'apex porte une fente dans laquelle viennent s'encastrent la tarière et ses valves; valves à peine exsertes, prolongeant le bec formé par l'hypopygium (fig. 195-197).

Longueur : 2,5 mm. : ♂ inconnu.

DISTRIBUTION GÉOGRAPHIQUE: Mayumbu, volcan Nyamuragira (alt. 2.100 m., 14-26.VI.1935), holotype ♀ et 1 paratype; Gitebe, volcan Nyamuragira (alt. 2.324 m., 14-26.VI.1935); forêt près de Kamatembe (alt. 2.200 m., 12.IV.1934); riv. Bishakishaki, Kamatembe, plaine de lave (alt. 2.100 m., 7-23.I.1935); Rutshuru, riv. Lubirizi (alt. 1.285 m., 13.VII.1935); 7 exemplaires ♀ ♀.

Cette espèce est caractérisée par la partie lisse à l'apex du 1^{er} tergite abdominal, la forme de l'aire médiane du 2^e tergite et la forme de l'hypopygium.

80. — **Apanteles circinus** sp. n.

(Fig. 198-199.)

♀ : noire; palpes, toutes les pattes, jaune-rouge testacé (excepté les hanches III, sauf à l'apex et plus largement en dessous); une légère enfumure des tarses II, des tibias et tarses des pattes III, brun rougeâtre clair; tegulae, sclérites axillaires, base de la costale et ventrites de la base, rouge testacé; flagellum brunâtre à la base, brun noirâtre vers l'apex; ailes hyalines, nervures et stigma, jaune très pâle et diaphane.

♀. *Tête* : face aussi large que longue, brillante et à très fine ponctuation espacée; clypéus différencié de la face; ostioles faciales plus près de l'apex du clypéus que des yeux; vertex virtuellement lisse; occiput ponctué à peu près comme la face; espace oculo-ocellaire un peu plus grand que la distance séparant les ocelles postérieurs; antennes plus longues que le corps; 1^{er} article du flagellum 3 fois plus long que large (12 : 4), articles apicaux environ 2 fois plus longs que larges (fig. 198).

Thorax : mésonotum brillant, à ponctuation moyenne (environ degré 3), dense antérieurement, un peu moins espacée que le diamètre des pointillés ailleurs, absente près de la base; sillon préscutellaire droit, étroit et très faiblement crénelé; disque du scutellum à faible convexité, brillant, présentant des traces faibles et superficielles de ponctuation; mésopleures lisses et brillants, cochléar marqué d'une fossette médiane; suture mésométopleurale lisse; métopleures lisses et brillants, à peine finement rugueux près du bord coxal, à sillon médian lisse et superficiel; propodeum mat, sauf dans les angles latéro-postérieurs, à petite ponctuation peu distincte et faiblement sétigère dans la 1/2 basale, portant quelques faibles et courtes carènes autour de la lunule médi-apicale, carène longitudinale médiane complète, mais mince et peu apparente.

Ailes : 1^{re} abcisse de la radiale et transverso-cubitale fortement et régulièrement incurvées, sans point de jonction discernable; partie apicale de la 1^{re} abcisse de la cubitale double de la longueur de la partie pigmentée de la 2^e abcisse et égale aux 2/3 de la récurrente; sommet de la basale très court, plus court que la partie pigmentée de la 2^e abcisse de la cubitale; stigma un peu plus court que le métacarpe.

Pattes III : hanches III finement et superficiellement rugueuses, un peu aciculées vers l'apex et faiblement sétifères. Proportions : hanches, 16/30;

fémurs, 9/41; tibias, 7/46; tarsi : I, 23; II, 11; III, 9; IV, 7; V, 8; le plus long éperon des tibias un peu plus court que la 1/2 et le plus court environ le 1/3 de la longueur des métatarses.

Abdomen (fig. 199) : tergite I faiblement brillant, finement ruguleux, superficiellement au milieu, plus fortement sur les côtés et vers l'apex, dans la moitié apicale apparaît une ponctuation superficielle et mal définie, apex très faiblement émarginé et à angles latéraux arrondis largement, portant une petite aire médiane lisse et brillante accompagnée de chaque côté d'une fovéole bordée, latéralement, par une petite carène prolongeant le bord latéral et paraissant former l'apex, en réalité celui-ci est prolongé

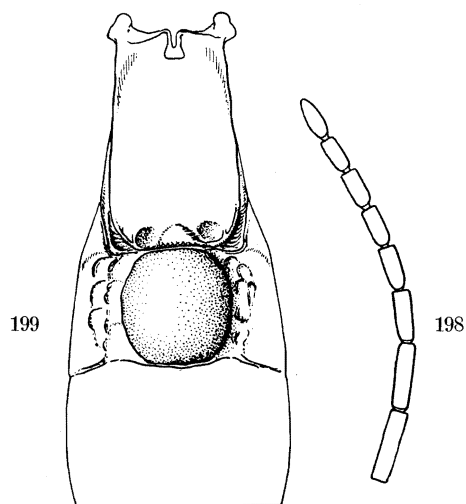


Fig. 198-199. — *Apanteles circinus* sp. n. ♀.

Fig. 198. — Sommet de l'antenne.

Fig. 199. — Détail des trois premiers tergites abdominaux.

par deux expansions latérales excavées; ce tergite est légèrement courbé et régulièrement convexe dans la moitié apicale, sa longueur médiane 1,5 fois plus longue que sa largeur apicale et 1,8 fois sa largeur basale (18 : 12 : 10), ses bords latéraux droits et régulièrement divergents jusque près de l'apex, ensuite franchement incurvés; tergite II orné d'une aire médiane circulaire, lisse, brillante, polie, régulièrement convexe, occupant toute sa longueur, latéralement à cette aire le tergite porte une esquisse de sillon, superficielle et faiblement sculptée ainsi que quelques soies vers l'apex, sa longueur médiane égale aux 5/6 de la largeur apicale du I et environ égale aux 5/6 du III (10 : 12 : 12-12,5); tergites III et suivants lisses et brillants, portant une seule rangée de fines soies dans la 1/2 apicale; hypopygium court, à bord supérieur arrondi en sorte qu'il paraît presque tronqué; valves de la tarière à peine exsertes.

Longueur : 2,6 mm.; ♂, inconnu.

DISTRIBUTION GÉOGRAPHIQUE : Rweru, volcan Mikeno, forêt de Bambous (26-27.VII.1934); 1 exemplaire holotype ♀.

Cette espèce se caractérise par l'aire médiane grande et circulaire du tergite II et le stigma diaphane.

81. — **Apanteles epaphus** sp. n.

(Fig. 200.)

Cette espèce est étroitement apparentée à *Ap. triptolemus* (v. n° 83) par de nombreux caractères, elle s'en différencie par les suivants :

♀ : hanches I et II toujours rouge testacé, les II présentent, parfois, une très faible trace noire à l'extrême base; enfumure des tibias et tarses III souvent faible; nervures et stigma brun clair à jaune, diaphane, ce dernier beaucoup plus clair que chez *Ap. triptolemus*.

♀ : antennes plus minces, à articles plus courts, mais de même rapport que chez *Ap. triptolemus* (fig. 200); ponctuation du mésonotum plus petite (degré 2-3), moins densément placée, sauf antérieurement, moins forte vers

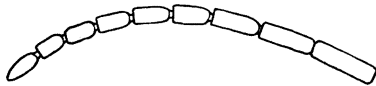


Fig. 200. — *Apanteles epaphus* sp. n. ♀, sommet de l'antenne.

l'apex (degré 1) et totalement absente près de celui-ci; hanches III à rugosité plus fine, une forte ponctuation apparaît distinctement sur la facette plane en dessus à la base; tergite I de mêmes proportions, à apex comme *Ap. circinus*, plutôt ruguleux que rugeux, légèrement convexe et ne présentant pas du tout la proéminence médiane accusée, très caractéristique chez *Ap. triptolemus*; l'aire médiane du tergite II est plus lisse et brillante, légèrement plus étroite à la base, les sillons discaux sont, par suite, moins convergents, mais ne sont jamais tout à fait parallèles.

Longueur : 2,2 à 2,5 mm.; ♂, inconnu.

Cette espèce est caractérisée par la ponctuation du mésonotum, l'aspect du tergite I et la pâleur du stigma.

DISTRIBUTION GÉOGRAPHIQUE : Burunga, Mokoto (alt. 2.000 m., 15-16 et 17-19.III.1934), holotype ♀ et paratypes; Ilega, volcan Karisimbi, Ruanda (alt. 2.400 m., 12.III.1935); Nyabirehe, pied du volcan Karisimbi, Ruanda (alt. 2.000 m., 22.II.1935); mont Kamatembe, riv. Bishakishaki, forêt (alt. 2.100 m., 14-17.VI.1934); Rweru, volcan Mikeno, forêt de Bambous (alt. 2.400 m., 26-27.VII.1934); lac Magera (alt. 2.000 m., 1.III.1934); Ngesho (alt. 2.000 m., 3-6.IV.1934); Rutshuru (alt. 1.285 m., 2.VII, 15.VII.1935); escarpement de Kabasha (alt. 1.500 m., 14.XII.1934); Nyarusambo (alt. 2.000 m., 30.VI, 2.VII.1934); Rutshuru, riv. Kanzarue (alt. 1.200 m., 15.VII.1935); 26 exemplaires ♀ ♀.

82. — *Apanteles tereus* sp. n.

(Fig. 201.)

Cette espèce est très voisine de *Ap. triptolemus*, elle s'en différencie par les caractères suivants :

♀ : noire; palpes, tegulae, extrême apex de toutes les hanches, pattes I et II ailleurs (sauf les tarsi qui sont plus sombres), trochanters, trochantelles, fémurs et tibiai des pattes III (sauf une très légère enfumure à l'extrême apex des fémurs et à l'apex des tibiai), sternites de la base à peine,

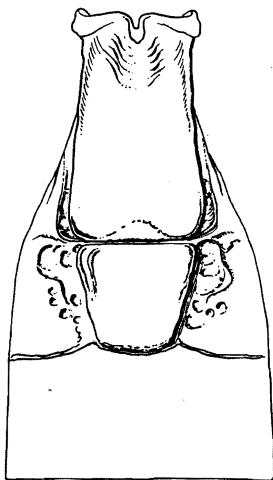


Fig. 201. — *Apanteles tereus* sp. n. ♀,
détail des trois premiers tergites abdominaux.

rouge testacé; tarsi III bruns; épérons des tibiai rouge testacé pâle; ailes très légèrement enfumées entièrement; nervures brun pâle; stigma brun, un peu diaphane.

Tête : ponctuation de la face un peu plus distincte que chez *Ap. triptolemus*.

Thorax : ponctuation du mésonotum plus petite (degré 2), régulière et plus densément placée; disque du scutellum lisse; aciculation du cochléar faible; propodeum mat, à carène longitudinale médiane forte et crénelée sur les côtés, des carènes secondaires apparaissent latéralement dans la moitié apicale près des carènes operculaires, où le tégument est aussi plus brillant.

Ailes : 1^{re} abcisse de la radiale naissant au milieu du stigma ou très faiblement au delà; cette nervure et la transverso-cubitale environ de longueurs égales et formant entre elles un angle distinct; partie apicale de la 1^{re} abcisse de la cubitale un peu plus de la moitié de la récurrente, stigma plus court que le métacarpe.

Pattes III : hanches finement rugueuses, pas tout à fait de la même façon que la partie postérieure des métapleures. Proportions : hanches, 15/30; fémurs, 9/40; tibias, 7/48; tarse : I, 23; II, 11; III, 9; IV, 7; V, 7.

Abdomen (fig. 201) : tergite I lisse et brillant dans la partie excavée au milieu à la base, ailleurs rugueux mais plus finement que chez *Ap. triptolemus*, faiblement convexe dans la 1/2 apicale et courbé au 1/3 postérieur, sa longueur médiane 2 fois ses largeurs basale et apicale, et 1,66 fois sa plus grande largeur située au quart apical (20 : 10 : 10 : 12), ses bords latéraux divergents jusqu'au quart apical, ensuite courbés vers l'apex tronqué; dans la partie apicale, ce tergite est élargi de chaque côté par une expansion latérale plus ou moins fovéolée; tergite II orné d'une grande aire médiane en relief et légèrement convexe, dont la base est au moins aussi large que la largeur apicale du I, les sillons discaux la délimitant assez superficiels, à sculpture vague s'étendant sur les parties latérales du tergite, l'aire médiane est plus ou moins ruguleuse surtout sur les côtés, son apex, légèrement arrondi, est épousé par la 2^e suture qui s'infléchit latéralement; longueur médiane du tergite II, à peine plus courte que la largeur apicale du I, 1,66 fois plus longue que la largeur apicale de l'aire médiane et à peine plus courte que la longueur médiane du III (10 : 11 : 6 : 11); tergites III et suivants légèrement satinés et portant quelques rares petites soies, latéralement et vers l'apex; hypopygium tronqué; valves de la tarière à peine exsertes.

Longueur : 2,5 mm.; ♂, inconnu.

DISTRIBUTION GÉOGRAPHIQUE : mont Tamira, près du lac Gando, Ruanda (alt. 2.600 m., 11.III.1935); 1 exemplaire holotype ♀.

83. — *Apanteles triptolemus* sp. n.

(Fig. 202-206.)

♂ ♀ : noirs; palpes, pattes I et II (excepté la base des hanches sur une plus ou moins grande étendue, et les tarse), apex ou extrême apex des hanches (sur une plus ou moins grande étendue et toujours plus largement en dessous), trochanters, trochantelles et fémurs des pattes III (sauf une légère enfumure en dessus, à l'apex de ces derniers), extrême bord des parties latérales membraneuses des tergites I et II et sternites de la base, rouge testacé; tarse I parfois un peu plus sombres, tarse II toujours; tibias III roussâtres, coloration s'intensifiant de la base au sommet, mais parfois peu évidente; tarse III brun à brun noirâtre; tegulae variables, rouge testacé à brunâtre; flagellum noir brunâtre; épérons des tibias III, pâles; ailes hyalines à très légèrement enfumées entièrement; sclérites axillaires et base de la costale, rouge testacé à brun rougeâtre clair; stigma brun, opaque; nervures brunes légèrement plus pâles que le stigma, excepté la base décolorée des nervures médiane et anale. La coloration des hanches

est très variable, I et II parfois presque entièrement noires, I parfois presque entièrement rouge testacé et III, toujours pour la majeure partie, noires.

♂ ♀. *Tête* : 1,77 fois plus longue que large (fig. 203); face environ aussi longue que large, brillante, à très petite ponctuation régulière; clypéus différencié de la face; ostioles faciales plus près de l'apex du clypéus que des yeux; vertex lisse et brillant; occiput ponctué comme la face; espace oculo-ocellaire égal à la distance séparant les ocelles postérieurs; antennes un peu plus longues que le corps; 1^{er} article du flagellum près de 4 fois plus long que large (11 : 3) chez la ♀ et environ 3,5 fois chez le ♂, les articles apicaux peu allongés dans les deux sexes (fig. 204 et 205).

Thorax : mésonotum brillant, à ponctuation assez forte (degré 3), à soies courtes, les pointillés presque contigus antérieurement, plus espacés vers la base, mais toujours séparés par une distance moindre que leur propre diamètre, assez superficiels près du sillon préscutellaire; ce dernier, droit,

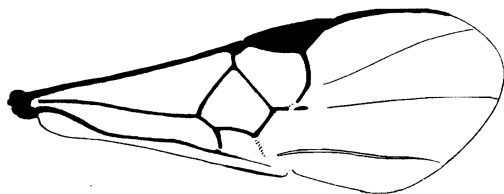


Fig. 202. — *Apanteles triptolemus* sp. n.,
détail de la nervation de l'aile antérieure.

assez large et plus ou moins crénelé; disque du scutellum brillant, à faible convexité, marqué d'une ponctuation très superficielle et peu apparente, l'apex est tronqué et faiblement déprimé; mésopleures lisses et brillants, excepté une ponctuation dense antérieurement, cochléar à dépression subsulciforme et aciculé à la partie inférieure; suture méso-métapleurale lisse; métapleures lisses et brillants antérieurement, plus ou moins fortement ruguleux postérieurement vers le bord coxal; propodeum parfois assez mat et à forte ponctuation sétigère, mais peu distincte, dans la moitié basale; pourvu d'une carène longitudinale médiane forte, qui n'atteint généralement pas l'apex, mais s'arrête entre les branches d'un V formé par deux carènes divergentes partant de la lunule médi-apicale et qui se continuent plus ou moins horizontalement sur les côtés, comme des costules, pour rejoindre les carènes latérales; la partie entre ces carènes et l'apex est ordinairement plus brillante, irrégulièrement parcourue par des carènes secondaires plus ou moins espacées et dépourvue de ponctuation.

Ailes : nervation du type de celle de *Ap. osiris*, mais la nervure radiale a son origine un peu au delà de la moitié du stigma, en sorte que la 1^{re} cellule cubitale est moins large (fig. 202).

Pattes III : hanches assez mates, très rugueuses et courtement sétifères en dessus et sur la face externe, où apparaissent des acicules vers l'apex,

petitement et très étroitement ponctuées en dessous. Proportions : hanches, 15/28; fémurs, 8/39; tibias, 7/46; tarsi : I, 23; II, 11; III, 9; IV, 7; V, 7; épérons des tibias subgéraux, le plus long un peu plus court que la 1/2 de la longueur des métatarses.

Abdomen (fig. 206) : tergite I rugueux entièrement, à peine plus lisse à la base où il est faiblement excavé au milieu, fortement proéminent au milieu depuis le tiers basal, proéminence s'atténuant pour atteindre l'apex tronqué et latéralement bordée par un sillon large et grossièrement crénelé (cette proéminence est parfois un peu moins forte chez le ♂); angles apicaux

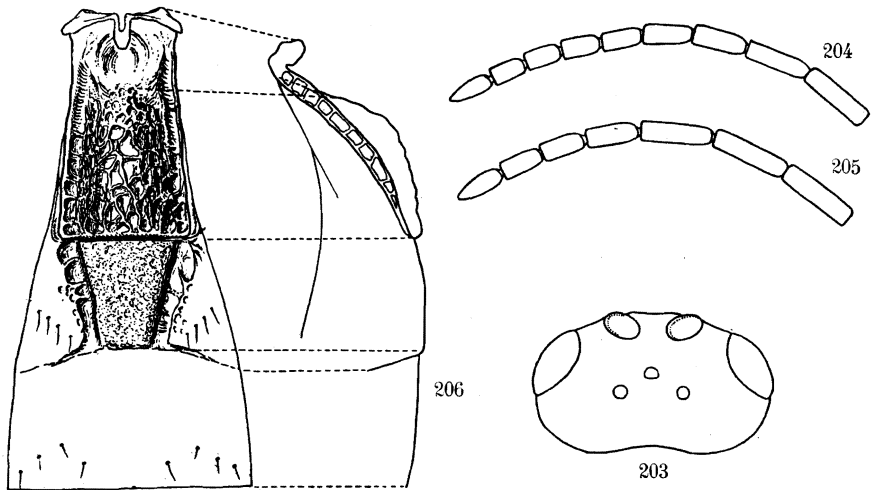


Fig. 203-206. — *Apanteles triptolemus* sp. n.

Fig. 203. — Tête, vue de dessus.

Fig. 204. — Sommet de l'antenne ♀. Fig. 205. — Sommet de l'antenne ♂.

Fig. 206. — Détail des trois premiers tergites abdominaux, face et profil.

arrondis; longueur médiane du tergite, 1,66 fois plus longue que la largeur apicale et 2,22 fois sa largeur basale (20 : 12 : 9), ses bords latéraux droits et divergents de la base à l'apex; tergite II marqué de deux larges sillons discaux délimitant une aire trapézoïdale plate et surélevée, dont la base est ordinairement double du sommet, à tégument finement rugueux; latéralement, ce tergite est lisse et brillant, sauf quelques rares petits pointillés latéraux, longueur médiane un peu plus courte que la largeur apicale du I et égale ou un peu plus courte que la longueur médiane du III (10 : 12 : 10-11); 2^e suture bien marquée, oblique de part et d'autre de l'apex de l'aire médiane du tergite II; tergite III lisse et brillant, ne portant que quelques soies éparses vers l'apex; hypopygium court, tronqué; valves de la tarière à peine exsertes.

Longueur : 2,3 à 2,8 mm.

DISTRIBUTION GÉOGRAPHIQUE : pied du volcan Karisimbi (alt. 2.400 m., 12.III.1935), holotype ♀, allotype ♂ et paratypes ♀ ♀; mont Sesero, près de Bitashimwa, forêt de Bambous (alt. 2.000 m., 1-2.VIII.1934); vers Rweru, volcan Mikeno, forêt de Bambous (alt. 2.400 m., 3.VII et 26-27.VII.1934); Tshamugussa, Bweza, forêt de Bambous (alt. 2.250 m., 9-10.VIII.1934); Tshumba, Mushari (alt. 2.100 m., 28.IV au 1.V.1934); lac Gando, pied du volcan Karisimbi, Ruanda (alt. 2.400 m., 6 et 8.III.1934); Kundhuru ya Tshuve, col Gahinga-Sabinyo, Ruanda, forêt de Bambous (alt. 2.600 m., 15-18.IX.1934); mont Tamira, près du lac Gando, Ruanda (alt. 2.600 m., 11.III.1935); Nyarusambo, Kikere (alt. 2.226 m., 28-29.VI.1934); Kibga, volcan Visoke, limite de la forêt de Bambous (alt. 2.400 m., 11.II.1935); Kitondo, près de Gandjo (alt. 2.000 m., 7-23.I.1935); 73 exemplaires : 30 ♂♂, 43 ♀♀.

AFFINITÉS : Par la conformation des 1^{er} et 2^e tergites abdominaux, cette espèce se place, dans la clef de WILKINSON, en même temps que l'espèce éthiopienne *mlanje* WILKN., dont elle se sépare par la rugosité du 1^{er} tergite et des hanches postérieures, ainsi que par une ponctuation du mésonotum beaucoup plus forte.

a) ***Apanteles triptolemus pullus* ab. n.**

Cette aberration ne diffère de l'espèce que par les caractères suivants :

Hanches I et II à peine rouge testacé à l'extrême apex; toutes les autres parties des pattes beaucoup plus sombres que chez *Ap. triptolemus*, presque brunes; tibias et tarses des pattes III concolores, brun foncé, tibias assez rarement plus clairs dans la moitié basale; tegulae toujours brun sombre presque noires; mésonotum plus ou moins satiné, à ponctuation distinctement plus fine (degré 3) et plus dense.

DISTRIBUTION GÉOGRAPHIQUE : Ilega, pied du volcan Karisimbi, Ruanda (alt. 2.400 m., 12.III.1935), holotype ♀, allotype ♂ et paratypes; mont Tamira, près du lac Gando, Ruanda (alt. 2.600 m., 11.III.1935); Nyabirehe, volcan Karisimbi, Ruanda (alt. 2.000 m., 22.II.1935); Gihorwe, pied du volcan Karisimbi, Ruanda (alt. 2.400 m., 7.III.1935); 18 exemplaires : 14 ♂♂, 4 ♀♀.

Ap. triptolemus et son aberration ont été récoltés dans quatorze stations différentes, toutes situées à des altitudes de 2.000 à 2.600 m., dans la région des volcans; cinq, au moins, de ces stations sont situées dans des forêts de Bambous ou à proximité, on peut en conclure que cette espèce appartient à la faune afro-subalpine et très probablement exclusivement à celle-ci.

Sous-groupe RUFICRUS.

Deuxième tergite sans aire médiane délimitée par des sillons discaux, à tégument rugueux, fortement chitinisé et habituellement plus large que le premier.

84. — **Apanteles elaeodes** sp. n.

(Fig. 207-209.)

♀ : noire; pièces buccales (sauf le labre), palpes, fémurs (sauf le 1/3 basal) et tibias des pattes I, environ la moitié basale des tibias II, base des tibias et extrême base des métatarses des pattes III, nervure costale presque jusqu'au stigma, bords latéraux membraneux des tergites I et II et sternites de la base, rouge testacé; pattes ailleurs, brunâtres ou brun foncé à noir; épérons des tibias III pâles; ailes hyalines à soies colorées, stigma opaque, brun foncé; 1^{re} abcisse de la radiale, transverso-cubitale et 2^e abcisse de la médiane, brunes, les autres nervures faiblement pigmentées.

♀. *Tête* : transverse, 2 fois plus large que longue, face un peu plus large que longue, brillante, à petite ponctuation mal définie; clypéus différencié de la face; ostioles faciales plus près de l'apex du clypéus que des yeux; vertex à très petite ponctuation, assez densément placée; stematicum lisse et brillant; occiput plus fortement ponctué que la face; espace oculo-ocellaire un peu plus grand que la distance séparant les ocelles postérieurs; 1^{er} article du flagellum 2,5 fois plus long que large (10 : 4) (fig. 207).

Thorax : mésonotum assez mat, à ponctuation (degré 3) densément placée, presque coalescente le long des lignes des notaulices et d'une ligne longitudinale médiane; sillon préscutellaire droit et assez étroitement crénelé; disque du scutellum convexe, plus brillant que le mésonotum, à ponctuation (degré 3) mieux séparée et légèrement plus superficielle; mésopleures lisses et brillants sauf une forte ponctuation antérieure, cochléar marqué d'un sillon petitement crénelé; métapleures lisses antérieurement, grossièrement ponctués et longuement sétigères postérieurement, à sillon médian crénelé; propodeum brillant, grossièrement rugoso-réticulé sauf près de la base, portant une esquisse de carène longitudinale médiane ou de carènes transversales, mais ces carènes ne sont jamais très distinctes.

Ailes : stigma 2,5 fois plus long que large; 1^{re} abcisse de la radiale égale à la largeur du stigma et un peu plus de 1,5 fois la longueur de la transverso-cubitale, celle-ci à peine plus longue que la partie apicale de la 1^{re} abcisse de la cubitale, qui est elle-même environ égale aux 2/3 de la récurrente; stigma égal au métacarpe; par suite de la largeur du stigma et de la longueur de la 1^{re} abcisse de la radiale, la 1^{re} cellule cubitale est particulièrement longue (fig. 208).

Pattes III : brillantes, portant de grosses ponctuations sur la facette plane en dessus à la base, à ponctuation assez mal définie sur la face externe, plus

nette et plus dense à la face inférieure; fémurs brillants, à petite ponctuation légèrement saillante. Proportions : hanches, 20/32; fémurs, 11/38; tibias, 8/44; tarsi : I, 20; II, 10; III, 8; IV, 6; V, 7; éperons des tibias subégaux, le plus long un peu moins que la moitié de la longueur des métatarses.

Abdomen (fig. 209) : tergite I excavé médialement à la base, courbé un peu au delà du milieu, brillant, faiblement sculpté dans la moitié basale, rugoso-ponctué dans la moitié apicale, sa longueur médiane environ égale à sa largeur apicale et 1,8 fois sa largeur basale (22 : 21 : 12), ses bords latéraux divergents assez régulièrement de la base à l'apex, celui-ci est échancré au

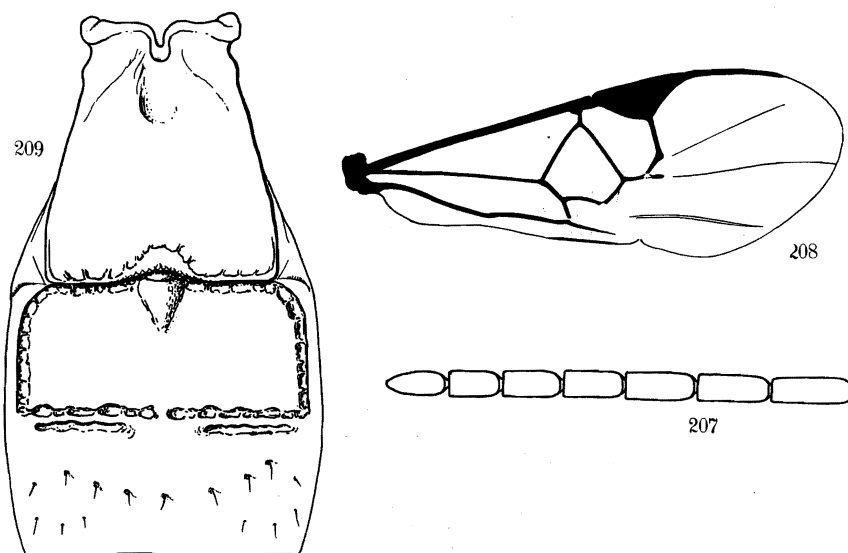


Fig. 207-209. — *Apanteles elaeodes* sp. n. ♀.

Fig. 207. — Sommet de l'antenne.

Fig. 208. — Détail de la nervation de l'aile antérieure.

Fig. 209. — Détail des trois premiers tergites abdominaux.

milieu et porte une petite aire médiane lisse et brillante, angles apicaux à peine arrondis; tergite II rugoso-ponctué plus grossièrement que le I et présentant au milieu, à la base, une petite aire triangulaire un peu surélevée, sculptée comme le restant du tergite, sillons latéraux distincts, arrondis dans les angles antérieurs, parallèles latéralement, sa longueur médiane 1,7 fois plus courte que la largeur apicale du I et un peu moins de la moitié de sa propre largeur; 2^e suture droite, forte, doublée parfois à la base du tergite III, par une dépression transversale irrégulière, interrompue au milieu; tergite III de même longueur que le II, brillant, portant quelques soies latérales et une rangée de très petits pointillés disposés en arc de cercle vers la moitié; tergites suivants brillants, à petite ponctuation habituelle; hypopygium court,

à apex presque à angle droit; valves de la tarière peu exsertes, environ de la longueur des éperons des tibias III.

Longueur : 2,5 mm.; ♂, inconnu.

DISTRIBUTION GÉOGRAPHIQUE: vers Rweru, volcan Mikeno, forêt de Bambous (alt. 2.400 m., 3.VII.1934), holotype ♀; Tshengelero, près de Munagana (alt. 1.750 m., 21.VIII.1934); 2 exemplaires.

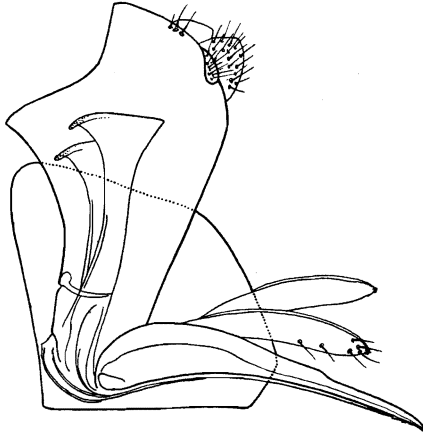


Fig. 210. — *Apanteles hyperion* sp. n. ♀.
Hypopygium et genitalia, vus de profil.

85. — ***Apanteles hyperion*** sp. n.

(Fig. 210-213.)

♂ ♀ : noirs; tegulae, pattes I et II entièrement, apex des hanches III (plus largement en dessous), fémurs (sauf à l'apex) et tibias (sauf l'extrême base et l'apex) des pattes III et sternites de la base, rouge testacé; palpes, jaune testacé à pâles; éperons des tibias III pâles; antennes noir brunâtre; fémurs et tibias III ailleurs et tarses III, brun rougeâtre, l'enfumuré des fémurs et tibias III légèrement variable en étendue et en intensité; ailes très légèrement enfumées, à soies colorées; stigma, 1^{re} abcisse de la radiale, transverso-cubitale et partie pigmentée de la 2^e abcisse de la cubitale, brun clair, les autres nervures plus pâles, médiane et anale décolorées à la base.

♂ ♀. *Tête* : 1,7 fois plus large que longue (29 : 17); face légèrement plus large que longue, brillante, à très petite ponctuation peu marquée; clypéus différencié de la face; ostioles faciales plus près de l'apex du clypéus que des yeux; vertex et occiput à ponctuation encore plus fine que celle de la face, virtuellement lisses; espace oculo-ocellaire beaucoup plus grand que la distance séparant les ocelles postérieurs; antennes plus longues que le corps; 1^{er} article du flagellum 4 fois plus long que large (10 : 2,5) chez la ♀, 3 fois chez le ♂ (10 : 3), les articles préapicaux subégaux, 2 fois plus longs que larges chez la ♀, 2,5 fois chez le ♂ (fig. 211 et 212).

Thorax : mésonotum mat, à forte ponctuation un peu alvéolaire (degré 4), densément placée, plus dense le long des lignes des notaulices,

brillant près des bords latéraux où la ponctuation est, ou absente, ou plus espacée et plus superficielle, l'extrême bord latéral est, à nouveau, étroitement ponctué, presque rugueux et mat; sillon préscutellaire droit et fortement crénelé; disque du scutellum un peu mat, à ponctuation (au moins degré 3) bien séparée, plus dense près des bords latéraux où elle a tendance à former une rugosité comme à l'apex, qui est franchement rugueux; méso-pleures ponctués à peu près comme la partie médiane du mésonotum antérieurement, lisses et brillants ailleurs, excepté des stries, ordinairement bien marquées, dans le cochléar qui est fortement déprimé; suture méso-méta-pleurale lisse; méta-pleures lisses et brillants antérieurement, rugueux et striés postérieurement; propodeum semblable à la description de *Ap. plutellae* KURDJ. par WILKINSON (1939, p. 80), très fortement et très grossièrement réticulo-rugueux, légèrement déprimé dans la partie médiane et portant occasionnellement une carène longitudinale médiane faible.

Ailes : 1^{re} abcisse de la radiale un peu variable, ordinairement 1/4 plus courte que la largeur du stigma, naissant un peu avant le 1/3 distal de celui-ci, formant nettement un angle avec la transverso-cubitale, à peine plus

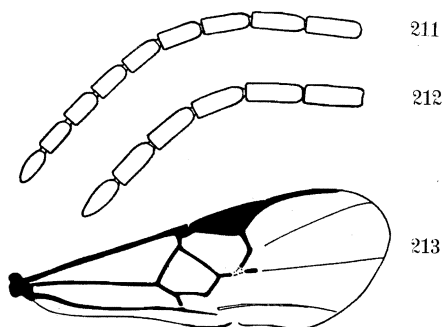


Fig. 211-213. — *Apanteles hyperion* sp. n.

Fig. 211. — Sommet de l'antenne ♀. Fig. 212. — Sommet de l'antenne ♂.
Fig. 213. — Détail de la nervation de l'aile antérieure.

courte que celle-ci et à peu près égale à la partie apicale de la 1^{re} abcisse de la cubitale; transverso-cubitale et récurrente d'égale longueur; stigma de même longueur que le métacarpe; la 1^{re} abcisse de la radiale peut être égale ou un peu plus longue que la transverso-cubitale (fig. 213).

Pattes III : hanches rugueuses et courtes; fémurs petitement ponctués. Proportions : hanches, 16/22; fémurs, 7/33; tibias, 5/41; tarses : I, 18; II, 9; III, 7; IV, 6; V, 6; éperons des tibias subégaux, le plus long un peu moins de la moitié de la longueur des métatarses; tarses des pattes I, légèrement plus courts que les tibias de la même paire (ordinairement légèrement plus longs chez les autres espèces).

Abdomen : tergite I exactement semblable à l'excellent dessin qui accompagne la redescription de *Ap. plutellae* (l. c., p. 81) et conforme à cette

redescription : fortement excavé à la base, très fortement médialement, proéminent et portant (parfois) une sorte de carène longitudinale médiane, courbé apicalement, plus ou moins lisse dans la partie basale excavée, ailleurs rugoso-ponctué, sa longueur médiane 1,2 fois sa largeur apicale et 2,25 fois sa largeur basale (18 : 15 : 8), ses bords latéraux droits, divergents de la base à l'apex, angles apicaux arrondis; tergite II, transverse, légèrement plus large que l'apex du I et 1,87 fois plus court au milieu que ce dernier (8 : 15), sa sculpture n'est pas aussi réticulée que celle figurée pour *Ap. plutellae*, des stries longitudinales sont plus apparentes sur un fond à sculpture plus vague, ce tergite présente une bande longitudinale médiane un peu surélevée et irrégulière qui n'existe pas chez *Ap. plutellae*; 2° suture fortement déprimée et bien marquée par deux sillons droits ou légèrement courbés vers l'arrière, qui se rejoignent presque au milieu; tergite III, 1,37 fois plus long que le II (11 : 8), lisse et brillant comme les suivants et ne portant, comme ceux-ci, qu'une seule rangée de fines soies au tiers apical environ; hypopygium à apex coupé en biais, le bord postérieur 1,37 fois plus long que la largeur des valves; valves de la tarière à peine exsertes, environ de la longueur du 3° article des métatarses III (fig. 210).

Longueur : 2,3 à 2,5 mm.

DISTRIBUTION GÉOGRAPHIQUE : Kalondo, lac Ndaraga, Mokoto (alt. 1.750 m., 22-27.III.1934), holotype ♀, paratype ♀ et allotype ♂; Ruhengeri, riv. Penge, Ruanda (alt. 1.800 m., 30-31.VIII.1934, 29.IX.1934); Ruhengeri, sources Kirii, Ruanda (alt. 1.800-1.825 m., 3.X.1934); Luofu (alt. 1.700 m., 10.XII.1934); île Tshegera, lac Kivu (alt. 1.400 m., 10.II.1934); Rutshuru (alt. 1.285 m., 22.V-4 et 3-8.VI.1934); 15 exemplaires : 5 ♂♂, 10 ♀♀.

AFFINITÉS : Cette espèce se place, dans les clefs de WILKINSON et de FAHRINGER, en même temps que *Ap. ruficrus* HAL., avec lequel elle présente une très étroite affinité; elle s'en sépare, néanmoins, par les caractères suivants : fémurs III, toujours à peine enfumés à l'apex; tergite III ne présentant jamais de partie rouge testacé; ponctuation de la tête beaucoup plus fine; ocelles postérieurs distinctement plus près l'un de l'autre que des yeux; tergite II présentant une légère surélévation médiane, paraissant former une petite aire médiane triangulaire, aussi rugueuse que les parties latérales; tergite III, distinctement plus long que le II. J'ai beaucoup hésité à séparer ces spécimens, mais c'est ce dernier caractère qui a emporté ma décision.

Dans la collection se trouve un spécimen ♀, malheureusement incomplet, présentant assez bien les caractères de *Ap. ruficrus*, mais les hanches III sont rouge testacé dans le tiers distal et l'abdomen est entièrement rouge testacé sauf les tergites I et II, un vague assombrissement des tergites III, IV et V ainsi que les segments suivants; le tergite I est environ aussi large à l'apex que sa longueur médiane, les valves de la tarière sont assez exsertes, larges à la base et s'amincissant vers l'apex. Rwindi (alt. 1.000 m., 22-24.XI.1934).

86. — **Apanteles nycteus** sp. n.

(Fig. 214-218.)

♂ ♀ : noirs; palpes et éperons des tibias II et III pâles (base des palpes maxillaires et palpes labiaux, parfois brunâtres); sclérites axillaires, un peu la base de la nervure costale, sternites de la base plus ou moins, rouge testacé; les parties suivantes ont parfois une coloration brunâtre tendant au rouge testacé : trochantelles, apex des fémurs I et tibias I, la base des tibias II, tibias et tarses III, ceux-ci habituellement plutôt noir brunâtre; tegulae variables, généralement noires chez le ♂, du brunâtre au rouge testacé chez la ♀; ailes enfumées et jaunâtres, plus faiblement dans la 1^{re} cellule basale et les 2/3 basilaires de la 2^e cellule basale, ainsi qu'une éclaircie sous la partie apicale de la 1^{re} abcisse de la radiale; stigma opaque, brun comme les nervures, médiane et anale plus claires vers la base.

♂ ♀. *Tête* : environ 1,7 fois plus large que longue, assez étendue derrière les yeux (fig. 214), légèrement rostriforme; face aussi longue que large, légèrement satinée, à petite ponctuation, plus dense vers la partie médiane; clypéus différencié de la face; ostioles faciales un peu plus près de l'apex du clypéus que des yeux; espace oculo-malaire plus grand que la largeur des mandibules à la base; vertex et occiput ponctués à peu près comme la face; espace oculo-ocellaire plus grand que la distance séparant les ocelles postérieurs; antennes de la ♀ de la longueur du corps plus 1 fois la tête, de la longueur du corps plus 1 fois l'abdomen chez le ♂; 1^{er} article du flagellum 4 fois plus long que large chez la ♀ (12 : 3), environ 2,5 fois chez le ♂ (12 : 5), articles préapicaux en moyenne 1,5 fois plus longs que larges chez la ♀ et 3 fois chez le ♂ (fig. 215 et 216).

Thorax : mésonotum mat, densément ponctué (au moins degré 3), rugueux le long des lignes des notaulices et une ligne longitudinale médiane confluant vers l'apex, où la ponctuation est plus forte; sillon préscutellaire presque droit, bien marqué, divisé par de nombreuses carènes régulières et étroites; disque du scutellum à faible convexité, mat, à ponctuation (degré 3) assez bien marquée, mais un peu plus superficielle que sur le mésonotum, rugueux à l'apex; mésopleures à forte ponctuation antérieurement, petite près du bord coxal, lisses et brillants ailleurs, cochléar fortement déprimé, plus ou moins strié, protubérance humérale séparée du mésopleure par un sillon crénelé; suture méso-métapleurale crénelée; métapleures lisses antérieurement, finement rugueux postérieurement, à sillon médian crénelé; propodeum parcouru par un réseau irrégulier de carènes assez fortes, présentant parfois deux carènes obliques plus fortes, partant d'un point situé au 1/4 basal et distancées l'une de l'autre, rejoignant latéralement une carène qui entoure les stigmates, intervalles brillants et plus ou moins vaguement rugueux, partie médiane parfois un peu déprimée.

Ailes (fig 217) : 1^{re} abcisse de la radiale naissant un peu au delà du milieu du stigma, à obliquité un peu variable, plus ou moins parallèle à

la 1^{re} abcisse de la cubitale, plus courte que la largeur du stigma, égale ou un peu plus courte que la transverso-cubitale, formant avec cette dernière un angle un peu plus grand qu'un angle droit, ces nervures renflées à leur point de jonction; partie apicale de la 1^{re} abcisse de la cubitale égale aux 2/3 de la récurrente et égale à la partie pigmentée de la 2^e abcisse; stigma un peu plus court que le métacarpe.

Pattes III : hanches mates, très densément ponctuées, presque rugueuses; fémurs à petite ponctuation dense, un peu saillante. Proportions : hanches, 18/30; fémurs, 11/42; tibias, 8/51; tarses : I, 25; II, 11; III, 9; IV, 6; V, 8; éperons des tibias subégaux, le plus long un peu moins de la 1/2 de la longueur des métatarses.

Abdomen (fig. 218) : tergite I, un peu mat, rugoso-ponctué, à sculpture semblable à celle représentant *Ap. plutellae* KURDI. (WILKINSON, 1939, p. 81), excavé à la base et plus fortement au milieu, proéminent dans les

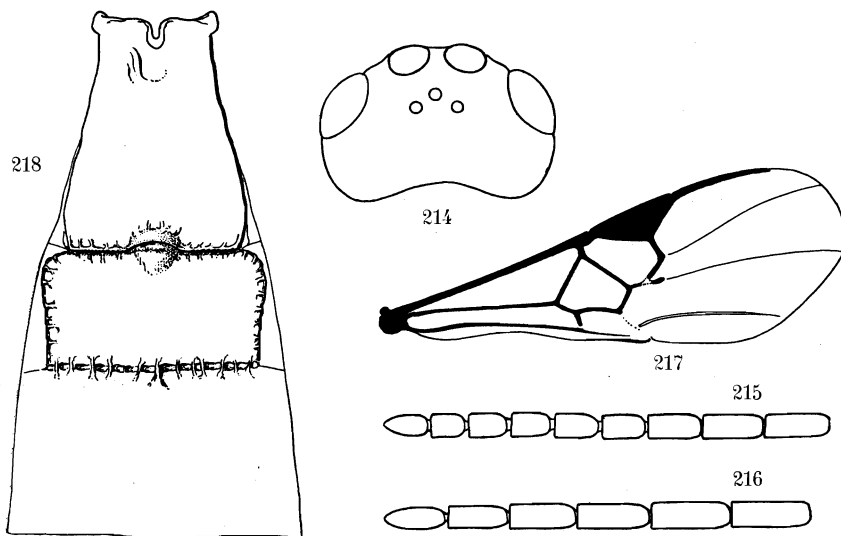


Fig. 214-218. — *Apanteles nycteus* sp. n.

Fig. 214. — Tête, vue de dessus.

Fig. 215. — Sommet de l'antenne ♀. Fig. 216. — Sommet de l'antenne ♂.

Fig. 217. — Détail de la nervation de l'aile antérieure.

Fig. 218. — Détail des trois premiers tergites abdominaux.

2/3 apicaux, occasionnellement apparaît sur le sommet de la partie proéminente une sorte de crête longitudinale médiane; longueur médiane du tergite 1,33 fois sa largeur apicale, environ 2 fois sa largeur basale et 1,25 fois sa plus grande largeur située un peu avant l'apex (19 : 15 : 10 : 16), ses bords latéraux divergents en ligne droite jusque peu avant l'apex, ensuite un peu infléchis, angles apicaux non arrondis; tergite II à sculpture identique à celle du I, ayant occasionnellement quelques stries longitudinales

plus dominantes, partie médiane du tergite un peu surélevée et portant un petit tubercule lisse et brillant à la base, sa longueur médiane 1,36 fois plus courte que la largeur apicale du I, un peu plus de la 1/2 de sa propre largeur et 1,26 fois plus courte que celle du III (11 : 15 : 20 : 14), ce tergite est parfois un peu plus long chez le ♂; 2° suture fortement marquée, chevauchée par les carènes de la sculpture des tergites; tergite III sculpté beaucoup plus superficiellement que les précédents, jusqu'au 1/3 apical chez la ♀, presque entièrement, sauf un étroit bord apical, chez le ♂, souvent marqué d'une ligne de pointillés plus forts, disposés en arc de cercle vers le tiers apical, partie médiane légèrement proéminente, téguement granuleux, mais plus souvent striolé dans une aire triangulaire dont la base correspond à la base du tergite et sans ponctuation, latéralement la ponctuation est disposée assez bien comme chez *Ap. plutellae*; quoique plus proéminents médialement, les tergites I à III ne peuvent être considérés réellement comme carénés; tergites suivants lisses et brillants, à petite ponctuation habituelle; hypopygium tronqué, mais moins largement que chez *Ap. hyperion*; valves de la tarière à peine exsertes.

Longueur : 2,5 à 3,0 mm.

DISTRIBUTION GÉOGRAPHIQUE : riv. Bishakishaki, Kamatembe (alt. 2.100 m., 11-22.IV.1934), holotype ♀; Shamuheru, volcan Nyamuragira (alt. 1.820 m., 14-15-26.VI.1935); Ngesho (alt. 2.000 m., 3-6.IV.1934); Rutshuru (alt. 1.235 m., 2.VII.1934); Kanyabayongo, Kabasha (alt. 1.760 m., 7.XII.1934), allotype ♂; Gitebe, volcan Nyamuragira (alt. 2.324 m., 14-26.III.1935); Mushumangabo, volcan Nyamuragira (alt. 2.075 m., 14-26.VI.1935); lac Gando, volcan Karisimbi, Ruanda (alt. 2.400 m., 6-9.III.1935); lac Magera (alt. 2.000 m., 27-28.II.1934); Kalondo, lac Ndaraga, Mokoto (alt. 1.750 m., 22-27.III.1934); Kinyamahura, Djomba (alt. 1.800 m., 23.VIII.1934); Nyarusambo, Kikere (alt. 2.226 m., 28-29.VI, 2.VII.1934); Burunga, Mokoto (alt. 2.000 m., 2.VII.1934); Ruhengeri, riv. Penge, Ruanda (alt. 1.800-1.825 m., 4-5.X.1934); Tshumba, Mushari (alt. 2.100 m., 28.IV, 1.V.1934); Rutshuru, riv. Musugereza (alt. 1.100 m., 4.VII.1935); Kamatembe, forêt primaire (alt. 2.100 m., 15-20.IV.1934); Rutshuru, rivière Fuku (alt. 1.250 m., 5.VII.1935); Rutshuru, riv. Lubirizi (alt. 1.285 m., 13.VII.1935); Nyabirehe, pied du volcan Karisimbi, Ruanda (alt. 2.000 m., 22.II.1935); vers Rweru, volcan Mikeno, forêt de Bambous (alt. 2.400 m., 26-27.VII.1934); vers Kamatembe (alt. vers 2.300 m., 7-23.I.1935); Ruhengeri, sources Kirii, Ruanda (alt. 1.800-1.825 m., 3.X.1934); mont Sesero, près de Bitashimwa (alt. 2.000 m., 1-2.VIII.1934); Nyongera, près de Rutshuru (alt. 1.218 m., 18.VII.1935); Bitale, lac Bulero, Ruanda (alt. 1.862 m., 11.IX.1934); Mushumangabo (alt. 2.075 m., 14.VI.1935); 66 exemplaires : 49 ♂♂, 17 ♀♀.

Cette espèce se place, dans la clef de WILKINSON, avec l'espèce paléarctique *Ap. salebrosus* MARSHALL, elle s'en sépare par les caractères suivants : ailes enfumées, toutes les pattes noires, hanches postérieures mates et étroitement ponctuées; 2° tergite plus court que le 3°.

VARIATIONS : Cette espèce présente de notables variations portant sur les caractères suivants : tegulae, apex de toutes les hanches, trochantelles I ou tous, ou trochanters et trochantelles, apex des fémurs I, tibias et tarses I, rouge testacé; ponctuation de la face plus dense, celle du mésonotum un peu plus forte et plus espacée, tégument moins mat; sculpture du tergite II à stries dominantes; sculpture du tergite III d'intensité variable, limitée à un large triangle médian ou comprenant tout le tergite sauf une étroite bande apicale.

87. — *Apanteles transutus* sp. n.

(Fig. 219-221.)

Espèce ayant une grande analogie avec *Ap. nycteus*, dont elle se différencie par les caractères suivants :

♂ ♀ : noirs; tegulae, sclérites axillaires, costale à la base, pattes I (sauf un peu la base des hanches ainsi qu'une enfumure étendue sur la face externe des fémurs et des tarses), hanches (sauf la face supérieure), trochanters, trochantelles, confusément la base des fémurs et la base des tibias des pattes II, trochanters, trochantelles et extrême base des fémurs (en dessous) des pattes III, sternites de la base, rouge testacé; tarses I et II, brun rougeâtre; tarses III brunâtres; palpes rouge testacé à pâle; épérons des II et III pâles; ailes moins fortement enfumées que chez *Ap. nycteus*.

♂ ♀ : articles préapicaux du flagellum en moyenne 2 fois plus longs que larges chez la ♀, 3,5 fois chez le ♂ (fig. 219 et 220); ponctuation du méso-

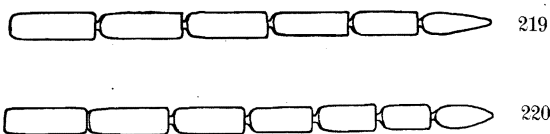


Fig. 219-220. — *Apanteles transutus* sp. n.

Fig. 219. — Sommet de l'antenne ♂. Fig. 220. — Sommet de l'antenne ♀.

notum un peu plus forte (degré 4); cochléar mésopleural marqué souvent d'un sillon longitudinal crénelé; obliquité de la 1^{re} abcisse de la radiale moins forte; tergite I, 1,5 fois plus long que sa largeur apicale, 1,8 fois sa largeur basale et 1,28 fois sa plus grande largeur située à 1/4 apical environ, ses bords latéraux droits, divergents jusqu'à l'apex tronqué dont les angles sont plus arrondis que chez *Ap. nycteus*; tergite II plus long de 1/6 que la largeur apicale du I, 1,2 fois sa propre largeur et égal à la longueur du III (14 : 12 : 17 : 14) (fig. 221); sculpture des trois tergites basilaires identique à celle des tergites correspondants de *Ap. nycteus*, la crête médiane du I et la carène médiane du II parfois plus distinctes; hypopygium un peu plus saillant et valves de la tarière paraissant un peu plus fortes.

Longueur : 3 mm.

VARIATIONS : Comme *Ap. nycteus* et, peut-être dans des proportions plus fortes, cette espèce présente une certaine gamme de variations :

Hanches I, entièrement ou presque pas, II partiellement, entièrement ou pas du tout, fémurs I entièrement ou très partiellement, tous les trochanters et trochantelles entièrement ou partiellement; bords latéraux membraneux des tergites I et II et même du III, rouge testacé; crête ou carène médiane des

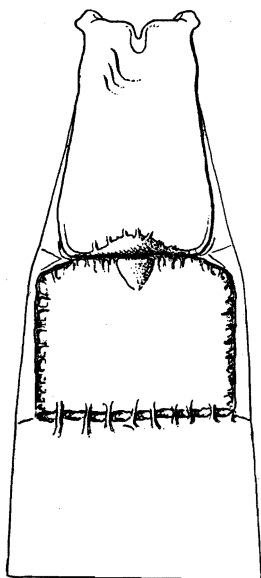


Fig. 221. — *Apanteles transutus* sp. n.,
détail des trois premiers tergites abdominaux.

tergites I et II et protubérance basale de ce dernier, parfois très évidentes ou complètement absentes; striation du tergite II quelquefois très bien marquée ou à peine perceptible; sculpture du tergite III, plus ou moins aciculée, souvent presque striolée, ou très faible, ne comprenant qu'une grande aire médiane obtriangulaire ou toute la largeur du tergite, cependant toujours plus faible latéralement et n'atteignant jamais le bord apical.

DISTRIBUTION GÉOGRAPHIQUE: vers Rweru, volcan Mikenon, forêt de Bambous (alt. 2.400 m., 3.VII.1934), holotype ♀ et paratypes; vers le mont Kamatembe (vers 2.300 m., 7-23.I.1935); mont Sesero, près de Bitashimwa, forêt de Bambous (alt. 2.000 m., 1-2.VIII.1934); lac Gando, volcan Karisimbi, Ruanda (alt. 2.400 m., 6.III.1935); Kashwa, entre Ngesho et Bishakishaki (alt. 2.000 m., 7-23.XII.1935); lac Magera (alt. 2.000 m., 27-28.II.1934); Nyarusambo, Kikere (alt. 2.226 m., 28-29.VI.1934); Ruhengeri, riv. Penge, Ruanda (alt. 1.800-1.825 m., 30-31.VIII.1934); Ruhengeri, sources Kirii, Ruanda (alt. 1.800-1.825 m., 31.VIII.1934-1.X.1934); Burunga, Mokoto (alt. 2.000 m., 15-16.III.

1934), allotype ♂; Kitondo, près de Gandjo (alt. 2.000 m., 7-23.I.1935); Mayumbu, volcan Nyamuragira (alt. 2.100 m., 14-26.VI.1935); Tshamugussa, Bweza, forêt de Bambous (alt. 2.250 m., 10.VIII.1934); Tshumba, Mushari (alt. 2.100 m., 28-IV, 1.V.1934); riv. Bishakishaki, Kamatembe (alt. 2.100 m., 11-22.IV.1934); forêt près de Kamatembe (alt. 2.200 m., 12.IV.1934); Gitebe, volcan Nyamuragira (alt. 2.324 m., 14-26.VI.1935); Ngesho (alt. 2.000 m., 3-6.IV.1934); lac Kanyamenoni, vers le volcan Musule (alt. 2.300 m., 14.VIII.1934); Nyabirehe, volcan Karisimbi, Ruanda (alt. 2.000 m., 22.II.1935); Kanyabayongo, Kabasha (alt. 1.760 m., 7.XII.1934); 36 exemplaires : 23 ♂♂, 13 ♀♀.

Cette espèce est caractérisée par la forme des tergites I et II, ce dernier étant presque carré, tandis qu'il est nettement transverse chez *Ap. nycteus*, c'est le caractère essentiel d'après lequel ces deux espèces peuvent être séparées.

*
**

Un groupe d'exemplaires, originaires des localités citées ci-après, présentent simultanément certains caractères d'*Ap. nycteus* et d'*Ap. transutus*. Je ne suis pas parvenu à les séparer. Les pièces génitales ne présentent pas de différences sensibles; ils offrent les mêmes détails de sculpture et de ponctuation à peu de différence près, hypopygium tronqué, formes générales identiques, variation dans les articles apicaux des antennes et les longueurs respectives des 2^e et 3^e tergites abdominaux.

Il est possible que parmi ces exemplaires figurent des espèces différentes, comme il est possible aussi que ce ne soit qu'un mélange d'aberrations des espèces citées ci-après. Des données biologiques seraient nécessaires pour les séparer.

DISTRIBUTION GÉOGRAPHIQUE: vers Rweru, volcan Mikeno, forêt de Bambous (alt. 2.400 m., 3 et 26-27.VII.1934), 20 ♂♂, 16 ♀♀; Rutshuru, riv. Musugereza (alt. 1.100 m., 10.VII.1935), 1 ♀; Rutshuru (alt. 1.285 m., 6.VI., 2 et 4.VII.1935, 16.X.1934), 9 ♂♂, 4 ♀♀; Rutshuru, riv. Rodahira (alt. 1.200 m., 1.VII.1935), 1 ♀; Rutshuru, riv. Fuku (alt. 1.200 m., 6.VII.1935), 2 ♂♂; Rutshuru, riv. Kanzarue (alt. 1.200 m., 15.VII.1934), 1 ♂; Rutshuru, riv. Lubirizi (alt. 1.285 m., 13.VII.1935), 2 ♀♀; lac Magera (alt. 2.000 m., 27-28.II.1923), 2 ♂♂, 1 ♀; Nyakibumba, près de Kikere (alt. 2.250 m., 5.VII.1934), 1 ♂, 1 ♀; mont Tamira, près du lac Gando, Ruanda (alt. 2.000 m., 11.III.1935), 1 ♂, 1 ♀; Ruhengeri, riv. Penge, Ruanda (alt. 1.800-1.825 m., 4-5.X.1934), 2 ♂♂, 5 ♀♀; Tshamugussa, Bweza, forêt de Bambous (alt. 2.250 m., 10.VIII.1934), 1 ♂, 2 ♀♀; Kundhuru ya Tshuve, Ruanda, forêt de Bambous (alt. 2.600 m., 15.IX.1934), 2 ♂♂, 1 ♀; Ruhengeri, sources Kirii, Ruanda (alt. 1.800-1.825 m., 31.VIII.1934), 4 ♂♂, 1 ♀; Ruhengeri, Moruguhu, Ruanda (alt. 1.800-1.825 m., 6.II.1935), 1 ♂; Ruhengeri, Mugara Kigombe, Ruanda (alt. 1.800-1.825 m., 6.II.1935), 1 ♂; Nyarusambo (alt. 2.000 m.,

2.VII.1934), 1 ♂; mont Sesero, près de Bitashimwa, forêt de Bambous (alt. 2.000 m., 1-2.VIII.1934), 12 ♂♂, 5 ♀♀; Nyabirehe, volcan Karisimbi, Ruanda (alt. 2.000 m., 22.II.1935), 2 ♂♂, 9 ♀♀; Tshumba, Mushari (alt. 2.100 m., 28.IV, 1.V.1934), 1 ♂, 1 ♀; Burunga, Mokoto (alt. 2.000 m., 15-16.VI.1934), 6 ♂♂, 1 ♀; May ya Moto (alt. 950 m., 15.XI.1934), 1 ♂; Ilega, volcan Karisimbi, Ruanda (alt. 2.400 m., 12.III.1935), 2 ♂♂; Kitondo, près de Gandjo (alt. 2.000 m., 7-23.I.1935), 3 ♂♂, 3 ♀♀; Nyarusambo (alt. 2.000 m., 2.VII.1934), 1 ♀; Shamuheru, volcan Nyamuragira (alt. 1.800 m., 14-26.VI.1935), 2 ♂♂, 1 ♀; riv. Bishakishaki, Kamatembe (alt. 2.100 m., 11-23.IV.1934), 3 ♂♂, 6 ♀♀; Nyasheke, volcan Nyamuragira (alt. 1.820 m., 14-26.VI.1935), 2 ♂♂, 1 ♀; Ngesho (alt. 2.000 m., 7-23.I.1935), 1 ♂; Tshengeleru, près de Munagana (alt. 1.750 m., 17.VIII.1934), 2 ♂♂, 1 ♀; Kalondo, lac Ndaraga, Mokoto (alt. 1.750 m., 17.VIII.1934), 2 ♂♂; Mushumangabo, volcan Nyamuragira (alt. 2.075 m., 14-26.VI.1935), 2 ♂♂, 1 ♀; Munagana, vers Gahinga-Sabinyo (alt. 2.200 m., 18.VIII.1934), 2 ♀♀; lac Gando, volcan Karisimbi, Ruanda (alt. 2.400 m., 7-8.III.1935), 4 ♂♂, 2 ♀♀; lac Kanyamenoni, vers le volcan Musule (alt. 2.300 m., 14.VIII.1934), 1 ♂; Kashwa, entre Ngesho et Bishakishaki (alt. 2.000 m., 7-23.VII.1935), 2 ♂♂; Kinyamahura, Djomba (alt. 1.800 m., 23.VIII.1934), 2 ♀♀; forêt près de Kamatembe (alt. 2.200 m., 12.IV.1934), 1 ♂; vers le mont Kamatembe (alt. vers 2.300 m., 7-23.I.1935), 1 ♂; Kamatembe, forêt primaire (alt. 2.100 m., 15-20.IV.1934), 5 ♂♂, 1 ♀; riv. Molindi entre Kirumba et le lac Kibuga (alt. 1.000 m., 31.IV-2.V.1934), 1 ♀ : 177 exemplaires : 104 ♂♂, 73 ♀♀.

Groupe U.

Premier tergite abdominal de forme variable; 2^e tergite fortement transverse et beaucoup plus court que le 3^e, délimité par des sillons latéraux, ou, comme dans le groupe A, orné de sillons discaux divergents, mais dans ce cas, il est toutefois habituellement plus court que le 3^e; propodeum aréolé ou portant une carène longitudinale médiane ou sans carénation, l'aréole peut être seulement esquissée à l'apex ou totalement absente; jamais de costules; valves de la tarière généralement longues et insérées au sommet des plaques oblongues.

88. — *Apanteles thespis* sp. n.

(Fig. 222-224.)

♂ ♀ : noirs; palpes, tegulae, pattes I et II y compris les hanches (tarses légèrement plus sombres), apex des hanches (plus de la moitié apicale en dessous), fémurs (sauf en dessous vers l'apex) des pattes III, bords latéraux membraneux du tergite I parfois et sternites de la base, rouge testacé; pattes ailleurs, brunâtres (sauf les hanches III), tibias III progressivement assombris de la base au sommet; éperons des tibias III, pâles; ailes hyalines, nervation à la base des ailes, rouge testacé, ailleurs brun clair y compris le stigma qui est assez diaphane discalement, costale brune.

♂ ♀. *Tête* : face un peu plus large que longue, légèrement proéminente médialement, terne, à ponctuation petite, assez dense et irrégulière; clypéus plus brillant que la face, différencié de celle-ci et un peu surélevé; ostioles faciales plus près de l'apex du clypéus que des yeux; vertex très finement ponctué; occiput plus densément; espace oculo-ocellaire plus grand que la distance entre les ocelles postérieurs; antennes plus longues que le corps, à articles allongés; 1^{er} article du flagellum 4 fois plus long que large chez la ♀ (12 : 3), 3 fois chez le ♂ (12 : 4).

Thorax : mésonotum brillant à légèrement satiné, à ponctuation (degré 2) assez dense, mais plutôt mal définie, devenant très petite, presque inapparente à la base au milieu; sillon préscutellaire droit, étroit et faiblement crénelé; disque du scutellum un peu plus long que sa largeur basale, plat, à apex aigu, brillant et portant quelques imperceptibles pointillés rares, virtuellement lisse; partie antérieure des axillae lisse et mate, parfois petite-ment crénelée sur les bords interne et postérieur; mésopleures faiblement satinés, ponctués grossièrement mais assez superficiellement à l'avant, lisses ailleurs; propodeum mat, à sculpture plus ou moins fortement ruguleuse, dissimulant une ponctuation sétigère, parfois plus lisse dans les angles latéro-postérieurs et divisé par une carène longitudinale médiane complète.

Ailes : 1^{re} abcisse de la radiale égale aux 2/3 de la largeur du stigma et 1/5 plus courte que la transverso-cubitale, cette dernière plus épaisse et à angle

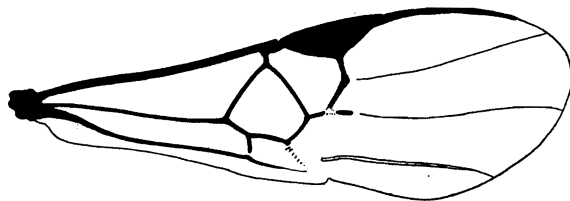


Fig. 222. — *Apanteles thespis* sp. n.,
détail de la nervation de l'aile antérieure.

avec la précédente; partie apicale de la 1^{re} abcisse de la cubitale et partie pigmentée de la 2^e abcisse, environ égales et un peu plus longues que la moitié de la récurrente; stigma plus court que le métacarpe (fig. 222).

Pattes III : hanches sétifères, portant une forte ponctuation un peu rugueuse sur la partie supérieure à la base et une grande aire lisse sur la face externe, ailleurs petitement et densément ponctuées; fémurs à petite ponctuation longuement sétigère. Proportions : hanches, 14/35; fémurs, 9/44; tibias, 7/48; tarses : I, 26; II, 11; III, 10; IV, 7; V, 8; le plus long éperon des tibias distinctement moins de la 1/2 et le plus court moins du 1/4 de la longueur des métatarses.

Abdomen : tergite I, mat, plus ou moins lisse basalement, rugueux à ruguleux dans le 1/3 apical, faiblement excavé à la base et légèrement proéminent médialement dans les 2/3 apicaux, plat vers l'apex et à peine courbé, sa longueur médiane 3,33 fois plus grande que sa largeur apicale

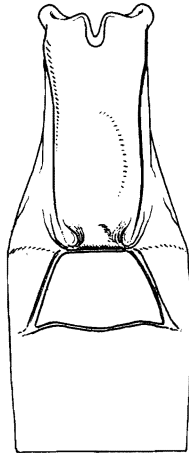


Fig. 223. — *Apanteles thespis* sp. n. ♂.
détail des trois premiers tergites abdominaux.

et 2,22 fois sa largeur basale (20 : 6 : 9), ses bords latéraux faiblement incurvés vers le milieu, convergents légèrement vers l'apex tronqué, celui-ci porte, dans les angles latéraux, une petite excavation formant ainsi un étranglement de la partie médiane plus ou moins tuberculée; tergite II assez mat, très finement et peu distinctement sculpté, à sillons discaux à peu près droits et divergents jusqu'à la 2^e suture à un angle d'environ 45°, sa lon-

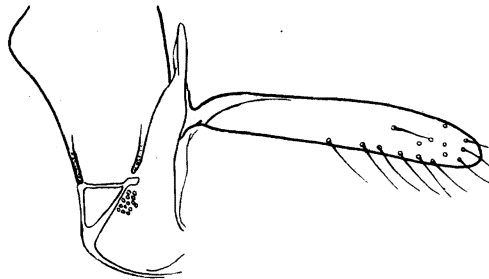


Fig 224. — *Apanteles thespis* sp. n. ♀, valve de la tarière.

gueur médiane à peine plus longue que la largeur apicale du I et 1,57 fois plus courte que celle du III (7 : 6 : 11) chez le ♂ (fig. 223); 2^e suture sinuée et bien marquée; tergite III portant quelques petits pointillés sétigères dans la moitié apicale, brillant comme les suivants; chez la ♀, le tergite I présente une rugosité plus grossière que chez le ♂ et son apex est émarginé,

le tergite II est plus court, égal à la largeur apicale du I et par suite près de la moitié de la longueur du III (6 : 6 : 11), sa rugosité est également un peu plus accusée et la 2^e suture est moins sinuée; hypopygium court et aigu; valves de la tarière courtes, ne dépassant pas la moitié de la longueur des métatarses (fig. 224).

Longueur : 2,8 à 3 mm.

DISTRIBUTION GÉOGRAPHIQUE : Burunga, Mokoto (alt. 2.000 m., 15-16.III.1934), holotype ♀ et 1 paratype ♀; vers Rweru, volcan Mikeno, forêt de Bambous (alt. 2.400 m., 3 et 26.VII.1934), allotype ♂; volcan Visoke (alt. 2.800 à 3.300 m., 13-14.II.1935); 6 exemplaires : 3 ♂♂, 3 ♀♀.

OBSERVATION : Il est probable que cette espèce devra être placée dans un autre groupe, comme le fait soupçonner l'insertion des valves de la tarière. Un plus abondant matériel sera nécessaire pour permettre l'étude de l'appareil génital et des sternites abdominaux.

89. — *Apanteles montanus* sp. n.

(Fig. 225-229.)

♂ ♀ : noirs; pièces buccales (sauf le labre), palpes, pattes I et II y compris les hanches, trochanters, trochantelles, fémurs et extrême base des tibias des pattes III, sternites de la base, hypopygium, rouge testacé; tibias ailleurs et tarses des pattes III, bruns; propectus, brun rougeâtre, tendant au rouge testacé; éperons des tibias III rouge brunâtre; ailes légèrement enfumées, présentant parfois une légère coloration jaunâtre; stigma opaque, brun comme les nervures, costale brun noirâtre. Chez certains spécimens et notamment chez les ♂♂, les hanches III sont rougeâtres à l'apex, ou à forte tendance au rougeâtre; un spécimen ♀ a les fémurs III très sombres, presque bruns.

♂ ♀. *Tête* : ligne faciale un peu plus courte que la transfaciale; face faiblement proéminente médialement, brillante, à petite ponctuation superficielle et peu densément placée; clypéus à peine différencié de la face; ostioles faciales plus près de l'apex du clypéus que des yeux; vertex brillant, imperceptiblement ponctué, virtuellement lisse; occiput à ponctuation à peine plus prononcée que celle du vertex; ocelles disposés à peu près en triangle équilatéral, les postérieurs beaucoup plus près l'un de l'autre que des yeux; antennes de la ♀ égales à la longueur du corps plus une fois la tête, à la longueur du corps plus une fois l'abdomen chez le ♂; 1^{er} article du flagellum environ 3 fois plus long que large dans les deux sexes (fig. 225 et 226).

Thorax : mésonotum brillant, à ponctuation (degré 4) bien marquée, les pointillés séparés par une distance égale ou un peu moindre que leur propre diamètre, cette ponctuation est un peu plus faible antérieurement et latéralement; sillon préscutellaire droit et irrégulièrement crénelé; disque du

scutellum assez plat, brillant, à ponctuation rare et superficielle; méso- et métapleures lisses et brillants à très fine ponctuation sétigère postérieurement, cochléar marqué d'un sillon plus ou moins lisse; propodeum entièrement brillant et ruguleux, orné d'une carène longitudinale médiane complète, mince, généralement peu distincte, mais toujours présente.

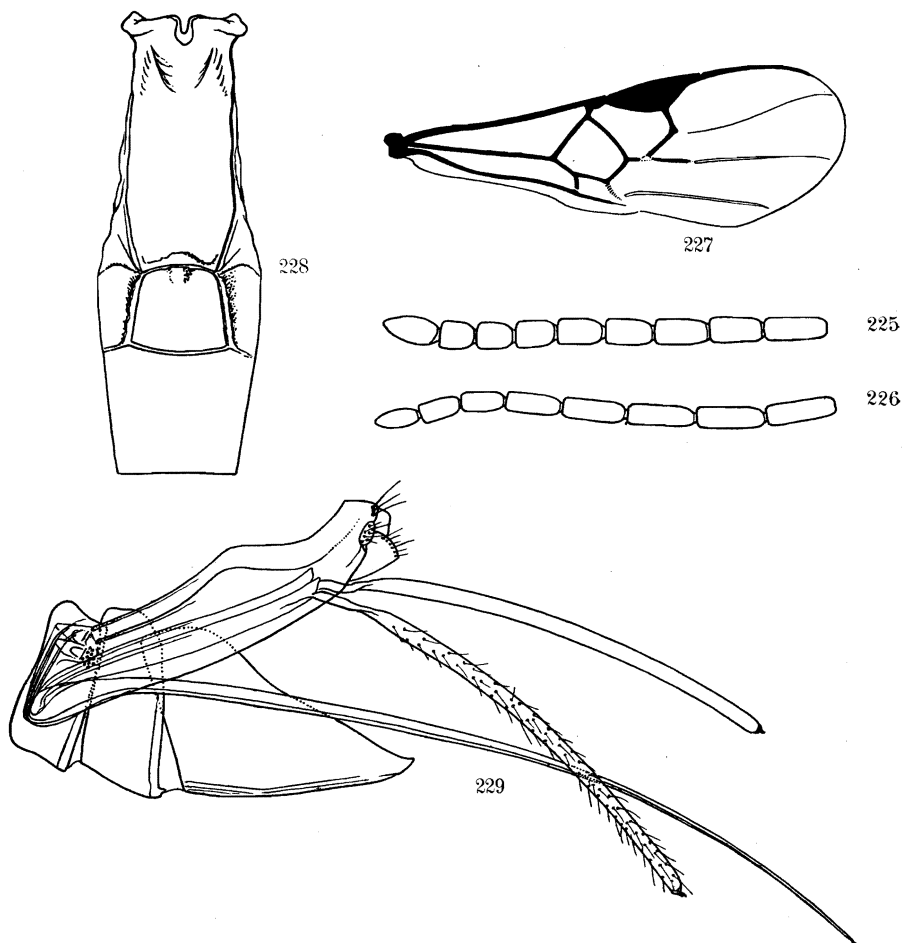


Fig. 225-229. — *Apanteles montanus* sp. n.

Fig. 225. — Sommet de l'antenne ♀. Fig. 226. — Sommet de l'antenne ♂.

Fig. 227. — Détail de la nervation de l'aile antérieure.

Fig. 228. — Détail des trois premiers tergites abdominaux.

Fig. 229. — Hypopygium et genitalia, vus de profil.

Ailes : 1^{re} abcisse de la radiale ayant son origine près du tiers distal du stigma, distinctement plus courte que la largeur de celui-ci, environ égale aux 2/3 de la longueur de la transverso-cubitale et formant un angle accusé avec elle, leur point de jonction marqué par un épaissement externe;

partie apicale de la 1^{re} abcisse de la cubitale égale à la moitié de la transverso-cubitale et aux 2/3 de la récurrente; partie pigmentée de la 2^e abcisse de la cubitale d'une longueur inhabituelle, au moins aussi longue que la transverso-cubitale; stigma plus court que le métacarpe (fig. 227).

Pattes III : hanches brillantes, aciculées et petitement ponctuées sur la facette plane en dessus à la base, lisses ailleurs, ou portant quelques rares petits pointillés, aciculées à la base vers la partie inférieure; fémurs brillants à faible ponctuation. Proportions : hanches, 14/25; fémurs, 9/38; tibias, 7/46; tarses : I, 20; II, 10; III, 8; IV, 6; V, 8; le plus long éperon des tibias près de la 1/2 et le plus court les 2/5 de la longueur des métatarses.

Abdomen (fig. 228) : tergite I brillant, excavé et plus ou moins lisse près de la base, faiblement courbé au delà du milieu, grossièrement ruguleux et proéminent dans la moitié apicale, sa longueur médiane 3 fois sa largeur apicale, un peu plus de 2 fois sa largeur basale et 2 fois sa plus grande largeur située au 1/4 apical (20 : 7 : 9 : 9,5), ses bords latéraux faiblement divergents jusqu'au 1/4 apical, légèrement convergents ensuite jusqu'à l'apex régulièrement émarginé et à angles non arrondis; tergite II, brillant, ruguleux, portant une aire médiane lisse et brillante à la base et quelques petites soies vers l'apex, ses sillons latéraux bien marqués, droits et faiblement divergents jusqu'à la 2^e suture, celle-ci également bien marquée et arquée vers l'apex, longueur médiane du tergite II un peu plus longue que la largeur apicale du I et au moins égale aux 4/5 de la longueur médiane du III (8 : 7 : 10-11); tergites III et suivants lisses et brillants, portant une rangée de petites soies près de l'apex; hypopygium largement membraneux à apex prolongé, aigu; valves de la tarière grêles, de la longueur des tarses III (fig. 229).

Longueur : 2,5 mm.

DISTRIBUTION GÉOGRAPHIQUE : Shamuheru, volcan Nyamuragira (alt. 1.843 m., 15.VI.1935), holotype ♀, allotype ♂, 1 paratype ♂; Nyasheke, volcan Nyamuragira (alt. 1.820 m., 14-26.VI.1935); forêt près de Kamatembe (alt. 2.200 m., 12.IV.1934); Burunga, Mokoto (alt. 2.000 m., 15-16.III.1934); 9 exemplaires : 4 ♂♂, 5 ♀♀.

AFFINITÉS : Par la conformation du 1^{er} tergite abdominal et surtout du 2^e, cette espèce pourrait se placer dans le groupe A, toutefois, j'estime que les caractères de l'hypopygium et des valves de la tarière, très particuliers, l'éloignent complètement de ce groupe et l'apparentent aux espèces appartenant au groupe U.

90. — *Apanteles uroxys* DE SAEGER.

Apanteles uroxys DE SAEGER, Rev. Zool. Bot. Afr., XXXV, 1941, p. 223, ♀.

DISTRIBUTION GÉOGRAPHIQUE : Congo Belge : Eala (Équateur); collection DE WITTE : Luofu (alt. 1.700 m., 10.XII.1934); Burambi, volcan Muhavura,

Ruanda (alt. 2.325 m., 5.IX. 1934); Rutshuru, riv. Musugereza (alt. 1.100 m., 10.VII.1935); 3 exemplaires : 2 ♀ ♀, 1 ?.

Hôte : ex-fleurs de *Coelocaryon staneri* GHESQ., (*Myristicacées*) + *Crystallozyga anthotropha* GHESQ. (Phycitidae). Cette Phycite était erronément déterminée dans les collections du Musée du Congo, sous le nom de *Myelois ceratoniae* ZELL. J'ai reproduit cette erreur — in fine — de la description originale.

Cocon, inconnu.

91. — *Apanteles burunganus* sp. n.

(Fig. 230-232.)

♀ : noire; toutes les pattes (sauf les hanches, tiers apical des tibias III et tarses III depuis le quart basal des métatarses), palpes, tegulae, sclérites axillaires, base de la costale et partie membraneuse de l'hypopygium, rouge testacé; tarses II légèrement enfumés; apex des tibias et tarses III ailleurs, bruns; ailes hyalines à soies nombreuses dans la moitié distale; stigma opaque, brun, ainsi que la costale ailleurs, métacarpe, 1^{re} abcisse de la radiale, transverso-cubitale et partie pigmentée de la 2^e abcisse de la cubitale, les autres nervures jaune testacé.

♀. *Tête* : face carrée, mate, à petite ponctuation (degré 1), régulière, un peu saillante, portant une courte carène médiane à petites stries transversales de chaque côté, à la partie supérieure; clypéus faiblement différencié de la face; ostioles faciales à égale distance entre les yeux et l'apex du clypéus; vertex densément et très petitement ponctué, à légèrement chagriné; occiput un peu plus fortement ponctué que le vertex; espace oculo-ocellaire plus long que la distance séparant les ocelles postérieurs; antennes de la longueur du corps; 1^{er} article du flagellum 3,7 fois plus long que large (13 : 3,5) (fig. 230).

Thorax : mésonotum assez mat, à ponctuation (degré 3) étroitement placée, particulièrement le long des lignes des notaulices, présentant un aspect presque rugueux, à petites soies courtes; sillon préscutellaire droit, irrégulièrement crénelé; disque du scutellum plus long que sa largeur basale, à faible convexité, à ponctuation plus distincte et plus séparée que celle du mésonotum, absente discalement où le tégument est satiné; méso-pleures lisses et brillants, sauf une ponctuation antérieure, mal définie, cochléar bien marqué, aciculé à striolé; métapleures lisses antérieurement, vaguement ponctués postérieurement, à sillon médian lisse et superficiel; propodeum grossièrement rugoso-ponctué, marqué d'une aréole à carènes fortes mais irrégulières, en forme de V à l'apex et n'atteignant pas la base à laquelle elle est reliée par une carène longitudinale médiane, présence ou absence de costules, indéterminable, aréole parfois assez mal marquée.

Ailes : 1^{re} abcisse de la radiale paraissant un peu plus longue que la largeur du stigma, ne formant pas un angle marqué avec la transverso-

cubitale qui paraît un peu plus courte, ces nervures présentent un léger épaississement à leur point de jonction; partie apicale de la 1^{re} abcisse de la cubitale égale aux 2/3 de la récurrente, qui, elle-même, est égale ou un peu plus courte que la transverso-cubitale; stigma plus court que le métacarpe.

Pattes III : hanches satinées, portant quelques grosses ponctuations, assez mal définies, sur la facette plane en dessus à la base et une petite ponctuation peu dense ailleurs, paraissant, cependant, présenter une aire lisse sur la face externe. Proportions : hanches, 25/38; fémurs, 14/48; tibias, 9/58;

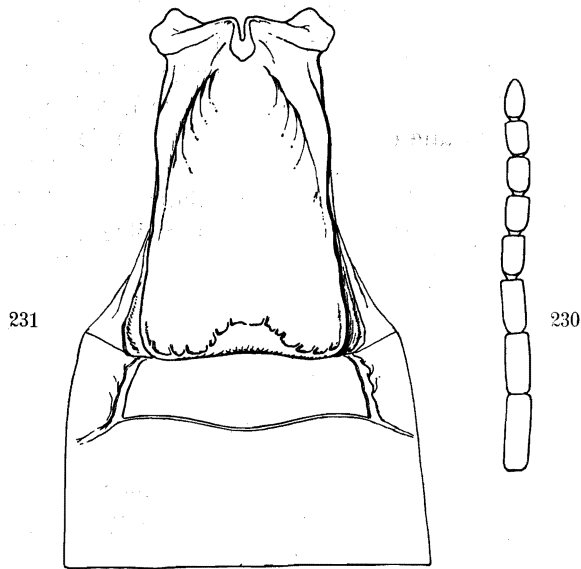


Fig. 230-231. — *Apanteles burunganus* sp. n. ♀.

Fig. 230. — Sommet de l'antenne.

Fig. 231. — Détail des trois premiers tergites abdominaux.

tarses : I, 33; II, 12; III, 10; IV, 8; V, 8; le plus long éperon des tibias un peu moins de la 1/2 et le plus court un peu moins du 1/3 de la longueur des métatarses.

Abdomen (fig. 231) : tergite I brillant, excavé à la base médialement, courbé un peu avant la moitié et proéminent au milieu, plat dans la partie apicale, ruguleux dans le 1/3 basal, rugoso-ponctué ailleurs et portant à l'apex une petite aire médiane lisse et brillante; longueur médiane du tergite environ 1,5 fois plus longue que sa largeur apicale et un peu plus de 2 fois sa largeur basale (30 : 19 : 14), ses bords latéraux divergents de la base à l'apex émarginé, dont les angles sont arrondis; tergite II plus large à la base que l'apex du I, à tégument finement sculpté, subchagriné, portant une rangée de pointillés près de l'apex et quelques pointillés latéraux,

ses sillons latéraux courts, bien marqués et légèrement divergents; sa longueur médiane environ le $\frac{1}{3}$ de la largeur apicale du I et la $\frac{1}{2}$ de la longueur médiane du III; 2^e suture fine, bisinuée; tergite III satiné à brillant, à petite ponctuation localisée latéralement; hypopygium saillant, largement membraneux, à apex relevé, fendu et pourvu d'un foramen préapical placé à environ 3 fois son diamètre de l'apex; valves de la tarière de la longueur des tarsi III, à bords parallèles, à peine élargies distalement (fig. 232).

Longueur : 3 mm.; ♂, inconnu.

DISTRIBUTION GÉOGRAPHIQUE : Burunga, Mokoto (alt. 2.000 m., 15-16.III et 19.III.1934), holotype et paratypes; Nyarusambo (alt. 2.000 m., 30.VI-2.VII.

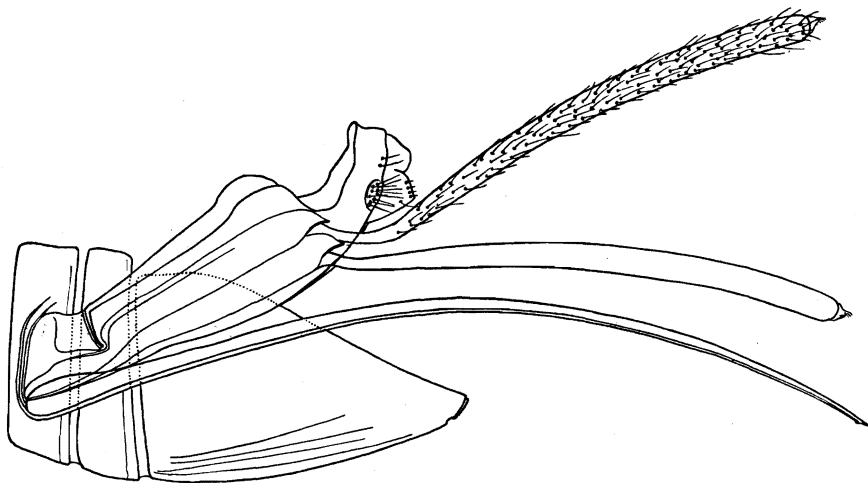


Fig. 232. — *Apanteles burunganus* sp. n., hypopygium et genitalia, vus de profil.

1934); Tshamugussa, Bweza, forêt de Bambous (alt. 2.250 m., 9.VIII.1934); 5 exemplaires ♀ ♀.

AFFINITÉS : *Ap. burunganus* se place au couplet 105 de la clef de WILKINSON, mais diffère de l'espèce éthiopienne *Ap. trochanterus* SZÉPL., notamment par une ponctuation du mésonotum différente, le 1^{er} tergite abdominal plus long et la 2^e suture bisinuée; par la sculpture, ne peut être confondu avec l'espèce javanaise *Ap. hyblaeae* WILKN. *Ap. burunganus* correspond, dans la clef de FAHRINGER, à l'espèce paléarctique *Ap. falcatus* NEES, mais s'en sépare par plusieurs caractères.

92. — *Apanteles pyrodercetus* DE SAEGER.

Apanteles pyrodercetus DE SAEGER, Rev. Zool. Bot. Afr., XXXV, 1941, p. 230, ♂ ♀.

CONGO BELGE : Congo Belge : Likete s/Lomela (Sankuru); coll. DE WITTE :

Shamuheru, volcan Nyamuragira (alt. 1.820 m., 4-26.VI.1935); 1 exemplaire ♀.

Hôte : *Pyroderces cecidicida* GHESQ. (Cosmopterygidae), se nourrissant de Cécidies foliaires provoquées par un Glyphiptérygide, sur *Berlinia heudelotiana* (Légum.).

Cocon, inconnu.

[93. — **Apanteles ghesquièrei** DE SAEGER.]

Apanteles ghesquièrei DE SAEGER, Rev. Zool. Bot. Afr., XXXV, 1942, p. 226, ♂ ♀.

CONGO BELGE : Ndele (Ituri); Rutshuru (Kivu); Costermansville (Kivu).

Hôtes : *Eublemma costimaculata* SAALM. (Noctuidae), chenilles prédatrices de Coccides *Inglisia* sp., sur Goyavier. Parasite solitaire. La chenille parasitée construit parfois son cocon, mais celui-ci est beaucoup plus petit que le cocon normal; *Eublemma* sp., chenilles prédatrices de Coccides *Stictococcus* sp., sur *Annona muricata*, durée de la nymphose 15 jours; *Eublemma costimaculata* SAALM., chenilles prédatrices de *Ceroplastes destructor* NWST., sur Caféier; *Eublemma costimaculata* SAALM., chenilles prédatrices de Lécanine Gn. sp., sur *Entada abyssinica* (Légum.); *Eublemma* sp., chenilles prédatrices de Lécanine Gn. sp., sur Goyavier. Durée de la nymphose, 15 jours (Kivu, janvier).

Cocon, inconnu.

a) **Apanteles ghesquièrei rufipes** ab. n.

(Fig. 233-234.)

Cette aberration ne diffère de l'espèce que par la coloration des pattes. Quelques détails de structure sont très légèrement différents, mais ils ne représentent guère que des variations qui ne modifient pas les caractères spécifiques essentiels; il en est ainsi pour le thorax, qui est distinctement plus robuste et pour la rugosité continuant les carènes de l'aréole du propodeum qui est, ici, presque inexistante.

Je donne, ci-après, la description de la coloration de cette aberration, suivie d'un complément de diagnose concernant aussi bien l'espèce que son aberration :

♀ : pattes I (excepté les hanches), moitié apicale des fémurs, tibias et tarses des pattes II, trochantelles et tibias des pattes III (sauf ces derniers à l'apex), rouge testacé; trochanters, trochantelles et moitié basale des fémurs des pattes II, environ le tiers apical des tibias III, rouge brunâtre; tarses III, jaune pâle testacé, à l'exception d'une faible enfumure sur chaque article, plus intense dans les 2/3 apicaux des métatarses et l'entièrement de l'article

apical; palpes et éperons des tibias, pâles; pièces buccales brunâtres; partie membraneuse de l'hypopygium, brune; ailes absolument hyalines, laiteuses, à petites soies incolores; stigma hyalin, à peine jaunâtre, étroitement bordé de brun; nervation complètement incolore, sauf la partie pigmentée de la 2^e abeisse de la cubitale; costale légèrement jaunâtre; métacarpe brun rougeâtre.

Tête : ligne faciale nettement plus courte que la transfaciale, l'implantation des antennes étant assez basse (fig. 233 et 234).

Pattes III : proportions : hanches, 14/28; fémurs, 14/39; tibias, 9/48; tarses : I, 25; II, 11; III, 8; IV, 6; V, 7.

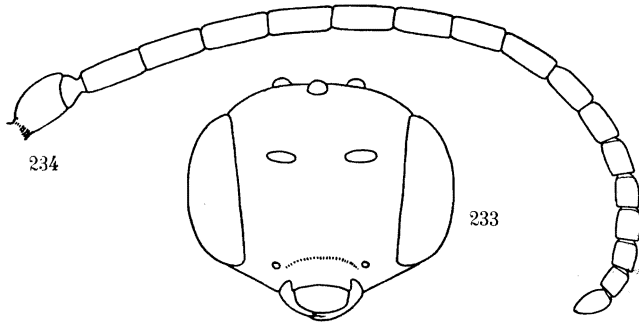


Fig. 233-234. — *Apanteles ghesquierei rufipes* ab. n. ♀.

Fig. 233. — Tête, vue de face. Fig. 234. — Antenne.

Vestiture de la tête et du thorax, plus forte que de coutume, constituée de soies incolores, particulièrement longues au sommet du mésonotum sur les lignes des notaulices, où elles sont apprimées et disposées en éventail.

Longueur : 3 mm.; ♂, inconnu.

DISTRIBUTION GÉOGRAPHIQUE : Ruhengeri, riv. Penge, Ruanda (alt. 1.800-1.825 m., 4-5.X.1934); 1 exemplaire ♀.

Groupe S.

Premier tergite abdominal de forme variable; deuxième tergite comme dans le groupe U; propodeum toujours aréolé, aréole complète ou tout au moins très nettement présente apicalement; costules toujours présentes; valves de la tarière généralement longues et insérées au sommet des plaques oblongues.

94. — *Apanteles nitidus* sp. n.

(Fig. 235-236.)

♀ : noire; pattes I et II depuis l'extrême apex des hanches (sauf les trois articles apicaux des tarses II qui sont enfumés), pattes III (sauf les hanches,

1/3 apical des tibias et tarses), rouge testacé; tarses III, brunâtres; palpes et éperons des tibias III, pâles; tegulae, sclérites axillaires et costale jusque près du stigma, jaune pâle testacé; costale ailleurs, bords antérieur et distal du stigma ainsi que le métacarpe, rouge brunâtre; partie membraneuse de l'hypopygium rougeâtre; ailes hyalines, à soies incolores ainsi que les nervures; stigma hyalin, très faiblement pigmenté, ainsi que la 1^{re} abcisse de la radiale, transverso-cubitale et partie pigmentée de la 2^e abcisse de la cubitale.

♀. *Tête* : ligne transfaciale plus grande que la faciale; face un peu proéminente médialement, brillante, à petite ponctuation (degré 1) assez dense, mais bien séparée; clypéus très faiblement différencié de la face; ostioles faciales beaucoup plus près de l'apex du clypéus que des yeux; vertex un peu moins, occiput un peu plus fortement ponctué que la face; espace oculo-ocellaire légèrement plus grand que la distance séparant les ocelles postérieurs (antennes brisées).

Thorax : mésonotum à forte ponctuation (au moins degré 4), bien séparée, profonde, cette ponctuation s'étalant largement à l'apex le long des lignes des notaulices mais laissant, au milieu, un étroit espace où la ponctuation est plus petite (degré 3) et plus superficielle ainsi que dans toute la partie médiane et les parties latérales, intervalles lisses et brillants, polis; sillon préscutellaire droit, étroit mais profond et faiblement crénelé : disque du scutellum très plat, un peu plus long que sa largeur basale, 2 fois plus large à la base qu'au sommet, très brillant, portant quelques pointillés (degré 2) bien marqués et espacés dans les 1/3 latéraux; partie lisse des axillae s'étendant jusqu'à la moitié de la largeur du disque et continuée presque jusqu'à la base de celui-ci par une partie à peine sculptée; mésopleures lisses et brillants, sauf une petite ponctuation antérieure, sans dépression cochléari-forme; suture méso-métapleurale petitement crénelée; métapleurales lisses et brillants, sauf une fine sculpture très près du bord coxal, sillon médian lisse; propodeum brillant, à ponctuation distincte basalement aux costules, diminuant de force vers la base du propodeum; aréole tronquée et vaguement délimitée à l'apex par des carènes faibles, devenant rugueuses vers le milieu, dépourvue de carènes à la base, mais dessinée par une légère dépression et une surface plus lisse sans ponctuation, costules faibles, droites, tégment, apicalement à ces dernières, vaguement rugueux à lisse et brillant.

Ailes : 1^{re} abcisse de la radiale insérée au stigma distinctement au delà du milieu, cette nervure et la transverso-cubitale régulièrement courbées, sans point de jonction discernable, leurs longueurs combinées environ 2 fois la largeur du stigma; sommet de la basale environ de la longueur de la partie apicale de la 1^{re} abcisse de la cubitale et à peu près moitié moindre que la récurrente; partie pigmentée de la 2^e abcisse de la cubitale, environ 1/3 plus courte que le sommet de la basale; stigma plus court que le métacarpe (fig. 235).

Pattes III : hanches très brillantes, portant quelques pointillés superficiels et de force moyenne sur la facette plane en dessus à la base, lisses sur une aire longitudinale à la face externe, ailleurs très petitement et éparsément ponctuées. Proportions : hanches, 16/32; fémurs, 13/44; tibias, 9/54; tarses : I, 32; II, 14; III, 11; IV, 9; V, 11; éperons des tibias subégaux, le plus long un peu plus court que la moitié de la longueur des métatarses.

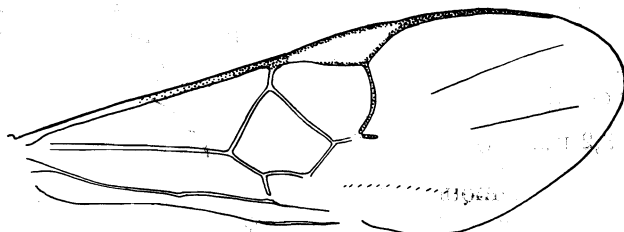


Fig. 235. — *Apanteles nitidus* sp. n. ♀, détail de la nervation de l'aile antérieure.

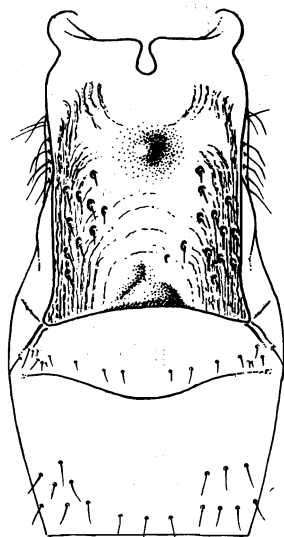


Fig. 236. — *Apanteles nitidus* sp. n. ♀, détail des trois premiers tergites abdominaux.

Abdomen (fig. 236) : tergite I brillant, excavé à la base, largement courbé au milieu et portant, un peu avant le milieu, une petite protubérance lisse et très brillante, tégument ruguleux près des bords latéraux, marqué de quelques pointillés latéralement dans les 2/3 apicaux environ, ailleurs à peu près lisse, longueur médiane du tergite 1,27 fois sa largeur apicale et 1,5 fois sa largeur basale (23 : 18 : 15), un peu élargi près de la base, à bords latéraux subparallèles, divergents près des angles apicaux qui sont, par suite, un peu

saillants, apex largement et fortement émarginé; tergite II poli, très brillant et lisse, sauf une rangée d'excessivement petits pointillés, sillons latéraux très courts, divergents, marqués seulement à la base, longueur médiane du tergite 2,25 fois plus courte que la largeur apicale du I, 2,62 fois plus courte que sa propre largeur apicale et 1,5 fois plus courte que la longueur médiane du III; 2^e suture fine, sinuée; tergites III et suivants, brillants et lisses sauf quelques petits pointillés épars vers l'apex et latéralement; hypopygium membraneux sur sa ligne médiane à la face inférieure, à apex membraneux, très aigu et fendu; valves de la tarière plus longues que les tarsi III, environ de la longueur des tibias et métatarses III réunis, à pilosité assez forte.

Longueur : 3,2 mm.; ♂, inconnu.

DISTRIBUTION GÉOGRAPHIQUE : Ruhengeri, sources Kirii, Ruanda (alt. 1.800-1.825 m., 1.X.1934); 1 exemplaire holotype ♀.

AFFINITÉS : Cette espèce se place, dans la clef de WILKINSON, en même temps que l'espèce américaine *Ap. megathymi* RILEY, dont elle se sépare aisément; elle est très affine de *Ap. earterus* WILKN., dont elle possède également le stigma discalement hyalin, mais elle s'en différencie, notamment, par la coloration des fémurs postérieurs, la rugosité dans la partie médiane du propodeum et les valves de la tarière un peu plus longues.

95. — *Apanteles valvatus* sp. n.

(Fig. 237-239.)

♀ : noire; palpes, pattes I depuis les trochantelles, pattes II depuis l'extrême apex des fémurs (sauf l'article apical des tarsi), 3/5 basilaires des tibias et base des métatarses des pattes III, rouge-orange testacé; article apical des tarsi II enfumé; tarsi III brun noirâtre; éperons des tibias II et III pâles; tegulae et costale jaune pâle testacé; ailes hyalines, légèrement laiteuses, à soies incolores; métacarpe et stigma bruns, ce dernier marqué d'une faible éclaircie dans l'angle proximal; nervures sous le stigma faiblement pigmentées, toutes les autres incolores.

♀. *Tête* : face à peu près carrée, brillante, à très petite ponctuation; clypéus à peine différencié de la face; ostioles faciales plus près de l'apex du clypéus que des yeux; vertex satiné, plus imperceptiblement ponctué que la face; occiput satiné, plus densément ponctué que la face; espace oculo-ocellaire un peu plus grand que la distance séparant les ocelles postérieurs; (antennes brisées), 1^{er} article du flagellum 3 fois plus long que large (12 : 4).

Thorax : mésonotum mat, à ponctuation (degré 3) étroitement placée, plus forte (degré 4) et plus profonde, presque rugueuse, le long des lignes des notaulices, pilosité assez longue apicalement et un peu apprimée; sillon préscutellaire droit, assez fortement crénelé; disque du scutellum plat, brillant et lisse, sauf quelques pointillés imperceptibles près des bords

latéraux; partie lisse des axillae étendue, dépassant la moitié de la longueur du disque du scutellum; mésopleures ponctués un peu moins densément que le mésonotum, lisse et brillant près de la base, cochléar à peine apparent; suture méso-métapleurale lisse; métapleures à peu près entièrement lisses, rugueux près du bord coxal, ponctués et à soies longues à la partie supérieure, sillon médian faiblement marqué; propodeum brillant, à petite ponctuation rugueuse, à soies longues, basalement aux costules, à peu près lisse apicalement à celles-ci et dans l'aréole, cette dernière à carènes fortes, arrondie à l'apex, presque en forme de U, carènes apicales droites et divergentes, basales un peu irrégulières et fermant l'aréole à peu près en arc de cercle au tiers basal du propodeum, à la base duquel elle est réunie par une courte carène longitudinale médiane; costules obliques antéro-postérieurement.

Ailes : 1^{re} abcisse de la radiale insérée au stigma un peu au delà du milieu, plus longue que la largeur de celui-ci, plus du double de la longueur de la transverso-cubitale et légèrement incurvée, leur point de jonction un

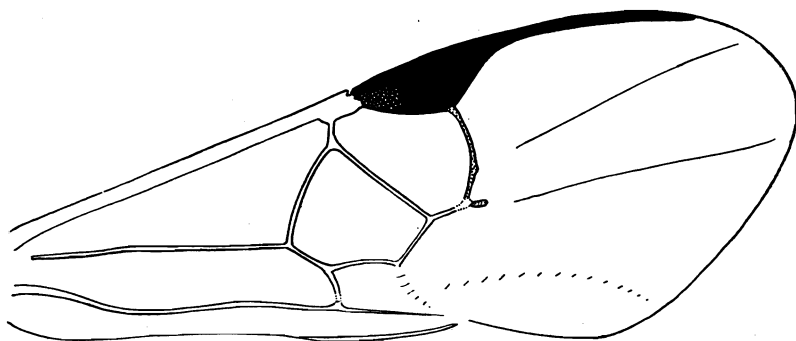


Fig. 237. — *Apanteles valvatus* sp. n. ♀, détail de la nervation de l'aile antérieure.

peu épaissi; partie pigmentée de la 2^e abcisse de la cubitale très courte, environ égale à la 1/2 du sommet de la basale, un peu plus courte que la 1/2 de la partie apicale de la 1^{re} abcisse de la cubitale, qui est elle-même égale aux 2/3 de la récurrente; stigma plus court que le métacarpe (fig. 237).

Pattes III : hanches mates, à ponctuation imperceptible, légèrement plus forte et un peu rugueuse sur la facette plane en dessus à la base. Proportions : hanches, 16/30; fémurs, 11/36; tibias, 9/44; tarses : I, 25; II, 10; III, 7; IV, 6; V, 8; le plus long éperon des tibias la 1/2 et le plus court le 1/3 de la longueur des métatarses.

Abdomen (fig. 238) : tergite I brillant, lisse et excavé dans la moitié basale, proéminent au milieu, ponctué (degré 3) un peu au delà du milieu, plus densément près de la proéminence, lisse vers l'apex, légèrement déprimé au milieu dans la moitié apicale; sa longueur médiane 1,8 fois ses

largeurs basale et apicale, qui sont égales, et 1,47 fois sa plus grande largeur située environ au tiers apical où il est courbé, ses bords latéraux sinués et divergents jusqu'à la plus grande largeur, convergents ensuite jusqu'à

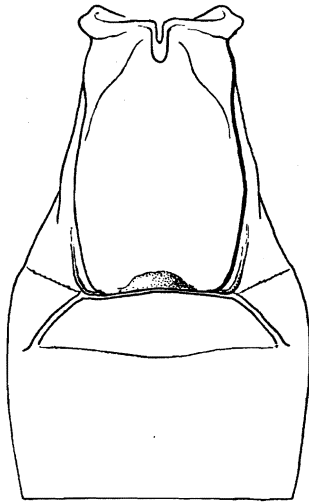


Fig. 238. — *Apanteles valvatus* sp. n. ♀, détail des trois premiers tergites abdominaux.

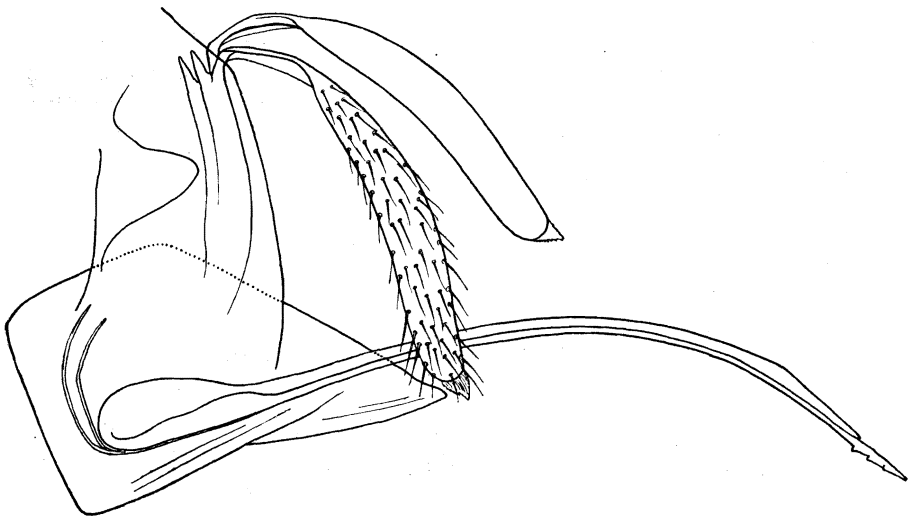


Fig. 239. — *Apanteles valvatus* sp. n., hypopygium et genitalia (détail partiel).

l'apex, celui-ci faiblement émarginé, à angles arrondis; tergite II, lisse, sauf quelques très petits pointillés dans la moitié apicale, ses sillons latéraux très divergents et faiblement courbés, partant des angles formés par

des expansions latérales à l'apex du I, sa longueur médiane la 1/2 de la largeur apicale du I, 3,66 fois plus courte que sa propre largeur apicale et environ la 1/2 de la longueur du III (6 : 12 : 22 : 12,5); 2^e suture fine, légèrement sinuée; tergite III légèrement satiné, lisse sauf une petite ponctuation, absente dans un espace médian obtriangulaire à la base; hypopygium membraneux mais pas fortement, à apex pas tout à fait aigu; valves de la tarière particulièrement larges, environ 5 fois plus longues que larges, à peine plus courtes que les fémurs III; tarière fortement arquée (fig. 239).

Longueur : 3 mm.; ♂, inconnu.

DISTRIBUTION GÉOGRAPHIQUE : Ruhengeri, sources Kirii, Ruanda (alt. 1.800-1.825 m., 3.X.1934), holotype ♀ et 1 paratype; 2 exemplaires.

AFFINITÉS : Dans la clef de WILKINSON, cette espèce se place avec *Ap. coxalis* SZÉPL., de laquelle elle se différencie immédiatement par la sculpture et la forme du 2^e tergite abdominal. Dans la clef de cet auteur des espèces indo-australiennes, elle coïncide avec l'espèce javanaise *Ap. parasae* ROHWER, à laquelle elle s'apparente par l'absence de sculpture à l'apex du 1^{er} tergite, mais en diffère par ailleurs; elle se rapproche beaucoup plus de l'espèce éthiopienne *Ap. earterus* WILKN.

Ap. valvatus se caractérise par la forme et la sculpture du 1^{er} tergite, les ailes légèrement laiteuses et la largeur des valves de la tarière.

a) ***Apanteles valvatus rwindicus*** s. sp. n.

Diffère de l'espèce par les caractères suivants :

♀ : pattes I rouge-orange testacé depuis le tiers basal des fémurs; tegulae noires.

♀. *Tête* : face portant une petite protubérance médiane brillante à la partie supérieure; clypéus différencié de la face par sa convexité.

Thorax : mésonotum brillant, à ponctuation plus profonde et plus espacée, très profonde le long des lignes des notaulices, qui sont striées près de l'apex et rugueuses; carènes divisant le sillon préscutellaire plus fortes; propodeum apparaissant plus ruguleux que ponctué basalement aux costules et à soies courtes, vaguement et peu étroitement ruguleux apicalement aux costules et dans l'aréole, celle-ci à carènes plus fortes, distinctement ouverte à la base, les carènes basales presque parallèles jusqu'à la base du propodeum; costules droites.

Abdomen : ponctuation du tergite I moins apparente, tégument satiné, ruguleux médialement dans la moitié apicale, sans dépression médiane lisse; sillons du tergite II droits; 2^e suture obsolète; (valves absentes, mais tarière aussi fortement arquée).

DISTRIBUTION GÉOGRAPHIQUE : Rwindi (alt. 1.000 m., 26.XI.1934); 1 exemplaire holotype ♀.

OBSERVATIONS : Le facies de cette sous-espèce est identique à celui de l'espèce, mais elle s'en différencie notablement par la ponctuation du mésonotum et la carénation du propodeum. Leurs lieux d'origine respectifs, très différents, permettent de considérer ce dernier spécimen comme appartenant à une race géographique.

96. — **Apanteles aethiopicus** WILKINSON.

Apanteles aethiopicus WILKINSON, Bull. Ent. Res., XXII, 1931, p. 81, ♂ ♀ ; PAOLI, Prodr. Entom. Agrar, Som. ital., 1931-1933, p. 346; DE SAEGER, Rev. Zool. Bot. Afr., XXXV, 1941, p. 253.

DISTRIBUTION GÉOGRAPHIQUE : Uganda; Somalie Italienne; Congo Belge : Rutshuru (Kivu), Malambwe, Sakania, Lubombo, Lubumbashi, Elisabethville (Katanga méridional); collection DE WITTE : Kalondo, lac Ndaraga, Mokoto (alt. 1.750 m., 22-27.III.1934), 1 ♀ ; Luofu (alt. 1.700 m., 10.XII.1934), 1 ♂ ; Nyongera, près de Rutshuru (alt. 1.218 m., 17.VII.1935), 1 ♀ ; Ruhengeri, sources Kirii, Ruanda (alt. 1.800-1.825 m., VIII.1934), 3 ♀ ; Rutshuru, riv. Kanzarue (alt. 1.200 m., 15.VII.1935), 1 ♀ ; 7 exemplaires : 1 ♂, 6 ♀ ♀.

Hôtes : en Somalie : *Utetheisa pulchella* L. (Arctiidae), sur divers *Heliotropium*, *Antigastra catalaunalis* DUP. (Pyraustidae), sur *Sesamia indica*, ce dernier hôte également en Uganda et à Sierra Leone; en Uganda, renseigné aussi « ex ? Lasiocampide et Tachinides »; au Congo Belge : à Rutshuru, *Catalebeda* sp. (Lasiocampidae) sur le Copalier *Copaifera demeusei* (Légum.) et *Holocera angulata* AUR. (Ludiidae), sur *Basilicum polystachion* (Labiées), au Katanga, *Elaeodes prasinodes* PROUT (Noctuidae), *Achaea catella* GUÉN. (Noctuidae), *Saliunca homochroa* HOLL. (Zygaenidae), *Holocera angulata* AUR. (Ludiidae) et *Hamanumida daedalus* F. (Nymphalidae).

Cocons : blancs, dispersés en désordre, sans orientation déterminée, ou parfois juxtaposés, en désordre également, avec quelques fils lâches les réunissant.

BIOLOGIE : Une chenille de *Holocera angulata* AUR., élevée par GHESQUIÈRE, à Rutshuru, a donné 392 exemplaires de cet *Apanteles*; les renseignements biologiques obtenus à l'occasion de cet élevage sont les suivants : sortie des larves, 14.III.1938; tissage du cocon, 15.III.1938; éclosion des adultes, 24.III.1938 (369 exemplaires); achèvement de l'éclosion, 25.III.1938 (23 exemplaires); durée de la nymphose, 9 à 10 jours.

97. — **Apanteles bellatulus** sp. n.

(Fig. 240-244.)

♂ ♀ : noirs; palpes, bords latéraux membraneux des tergites I, II et III et sternites de la base, jaune-rouge testacé; pattes, brun rougeâtre, parfois rouge testacé (sauf toutes les hanches, ainsi que les fémurs et tibias, parties franchement noires), fémurs et tibias I et II, plus clairs aux extrémités,

plus clairs également l'extrême apex des hanches I et II ainsi que les trochanters et trochantelles; tegulae, sclérites axillaires et légèrement la base de la costale, rougeâtre testacé; partie membraneuse de l'hypopygium, rouge testacé; éperons des tibias II et III, jaune pâle testacé; ailes légèrement enfumées, plus fortement dans la partie distale, à coloration un peu jaunâtre; stigma brun sombre, opaque, très faiblement éclairci dans l'angle proximal; nervation brune.

♂ ♀. *Tête* : ligne faciale plus courte que la transfaciale; face brillante, proéminente médialement, à ponctuation (degré 2) régulière, assez densément placée, plus densément sous les torules; clypéus différencié de la face; ostioles faciales beaucoup plus près de l'apex du clypéus que des yeux; espace oculo-malaire environ 1,5 fois la largeur de la base des mandibules; vertex brillant, à petite ponctuation (degré 1) assez dense; occiput et tempes ponctués comme la face, mais plus densément; stemmaticum ordinairement très petitement aciculé médialement; ocelles postérieurs un peu plus près l'un de l'autre que des yeux; antennes plus longues que le corps chez le ♂ (brisées chez les spécimens ♀ ♀); 1^{er} article du flagellum un peu moins de 4 fois plus long que large chez la ♀, un peu plus court chez le ♂ (fig. 241).

Thorax : mésonotum un peu mat et à ponctuation (degré 3) dense à la partie antérieure, devenant plus brillant et à ponctuation progressivement plus forte et plus distancée vers l'apex, les pointillés vers l'apex (degré 5) forts, toutefois, un peu moins distancés que leur propre diamètre, mais bien marqués et un peu irrégulièrement placés, devenant rares près de l'apex, cette ponctuation est presque rugueuse antérieurement le long des lignes des notaulices qui sont à peine apparentes postérieurement; sillon préscutellaire droit, profond, divisé irrégulièrement par 4 ou 5 carènes; disque du scutellum assez plat, à apex tronqué, très brillant, lisse au milieu, légèrement ponctué près des bords latéraux qui sont un peu incurvés; mésopleures brillants, à forte ponctuation antérieure, lisses ailleurs sauf une petite aciculation transversale dans le cochléar; suture méso-métapleurale petitement crénelée; métapleurales brillants, lisses antérieurement, vaguement sculptés à l'arrière, l'excavation située près du bord antérieur; propodeum brillant ou un peu mat, rugoso-ponctué ou ruguleux basalement aux costules, ruguleux apicalement et dans l'aréole, à rugules généralement transversales; aréole pentagonale à carènes apicales faibles et mal marquées, en forme de U à l'apex, à carènes assez fortes et droites à la base, où l'aréole est fermée en forme de Δ et reliée à la base du propodeum par une carène longitudinale médiane, cette base fortement échancrée, costules plus faibles que les carènes basales de l'aréole, plus fortes que les apicales, légèrement obliques (fig. 242).

Ailes : 1^{re} abcisse de la radiale un peu plus courte que la largeur du stigma, juste plus courte que la transverso-cubitale et formant avec celle-ci un angle faible mais évident, leur point de jonction à peine épaissi; partie

apicale de la 1^{re} abcisse de la cubitale environ égale aux 2/3 de la longueur de la transverso-cubitale, juste plus courte que la partie pigmentée de la 2^e abcisse de la cubitale et un peu plus de la 1/2 de la récurrente; stigma plus court que le métacarpe (fig. 243).

Pattes III : hanches portant quelques forts pointillés groupés sur la face supérieure à la base, de très petits pointillés vers l'apex ainsi qu'une petite

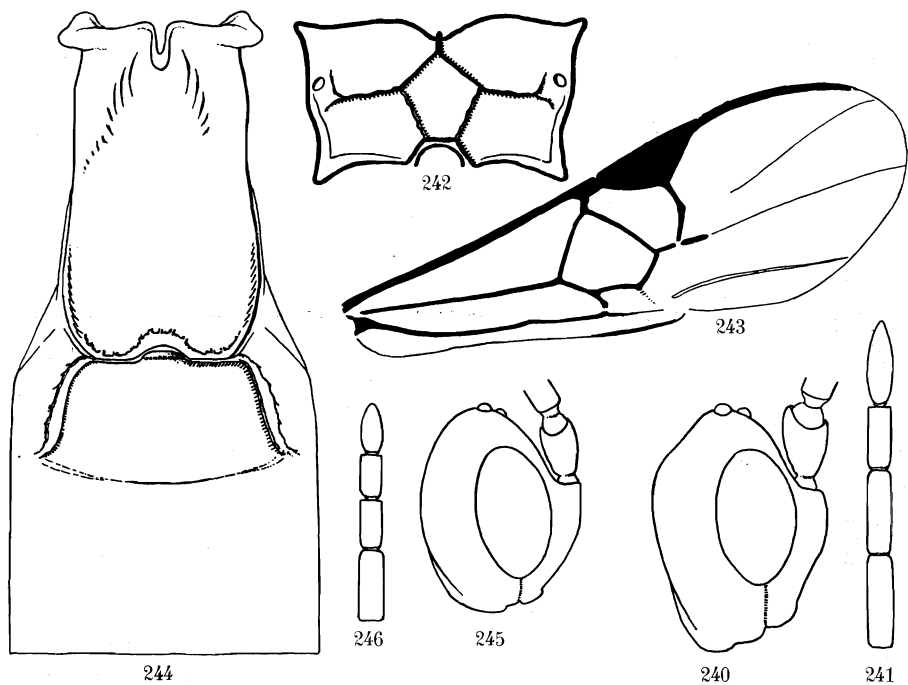


Fig. 240-244. — *Apanteles bellatulus* sp. n.

Fig. 240. — Tête du ♂, vue de profil. Fig. 241. — Articles apicaux de l'antenne ♂.

Fig. 242. — Schéma de l'aréolation du propodeum.

Fig. 243. — Détail de la nervation de l'aile antérieure.

Fig. 244. — Détail des trois premiers tergites abdominaux.

Fig. 245-246. — *Apanteles bellatulus simulator* ab. n.

Fig. 245. — Tête du ♂, vue de profil.

Fig. 246. — Articles apicaux de l'antenne ♂.

aciculation près de celui-ci, entièrement lisses et brillantes sur la face externe et petitement ponctuées sur la face inférieure. Proportions : ♂, hanches, 22/36; fémurs, 14/48; tibias, 9/58; tarsi : I, 30; II, 13; III, 11; IV, 8; V, 10; le plus long éperon des tibias la 1/2 et le plus court le 1/3 de la longueur des métatarses.

Abdomen (fig. 244) : tergite I excavé à la base, lisse et brillant à l'extrême base, proéminent médialement et légèrement courbé au tiers apical, tégu-

ment, ailleurs, finement rugueux à rugoso-punctué vers l'apex, sa longueur médiane 2,5 fois sa largeur apicale, 2 fois sa largeur basale et 1,55 fois sa plus grande largeur située environ au 1/4 apical (28 : 11 : 14 : 18), ses bords latéraux peu sinués et faiblement divergents jusqu'au point le plus large, ensuite, largement incurvés jusqu'à l'apex échancré; tergite II très brillant, poli, présentant parfois une apparence d'aciculation très superficielle et quelques vagues pointillés latéralement vers l'apex, légèrement proéminent au milieu, ses sillons latéraux larges, bien marqués, courbés à la base, ensuite légèrement divergents, sa longueur médiane égale à la largeur apicale du I, près de la 1/2 de sa propre largeur apicale entre les sillons et 1,36 fois plus court que le III (11 : 11 : 21 : 15); 2^e suture faiblement arquée vers l'arrière, très fine, presque obsolète; tergites III et suivants très brillants, polis, ne portant qu'une rangée apicale d'imperceptibles pointillés; chez le ♂, le tergite I est plus étroit, à bords latéraux presque parallèles, sa longueur médiane 2,27 fois ses largeurs apicale et basale et 1,78 fois sa plus grande largeur (25 : 11 : 11 : 14); hypopygium à développement membraneux, à apex aigu et fendu comme chez *Ap. fontinalis* (fig. 326), mais dépassant plus fortement l'extrémité de l'abdomen; valves de la tarière étroites, pas élargies à l'apex et environ de la longueur des tarsi III.

Longueurs : ♂, 3,2 à 3,5 mm.; ♀, 3,8 mm.

DISTRIBUTION GÉOGRAPHIQUE : Kinyamahura, Djomba (alt. 1.800 m., 23.VII.1934), holotype ♀ et paratypes ♀ ♀; Burunga, Mokoto (alt. 2.000 m., 9-14, 15-16 et 17-19.III.1934); Nyakibumba, près de Kikere (alt. 2.250 m., 5.VII.1934), allotype ♂; Mubiliba, volcan Nyamuragira (alt. 2.000 m., 14-26.VI.1935); Mayumbu, volcan Nyamuragira (alt. 2.100 m., 14-26.VI.1935); vers Rweru, volcan Mikeno, forêt de Bambous (alt. 2.400 m., 12.VII.1934); vers Kamatembe (alt. vers 2.300 m., 7-23.I.1935); Kamatembe, forêt, riv. Bishakishaki, mont Kamatembe (alt. 2.100 m., 14-17.VI.1934); Ngesho (alt. 2.000 m., 3-6.IV.1934); 21 exemplaires : 19 ♂♂, 2 ♀♀.

OBSERVATIONS : Cette espèce se caractérise par la ponctuation du mésonotum, l'aréole pentagonale et pétiolée du propodeum et l'enfumure des ailes.

a) *Apanteles bellatulus simulator* ab. n.

Cette variante peut se différencier de l'espèce par les caractères repris au tableau comparatif suivant :

Apanteles bellatulus ♂.
Tête (vue de profil) longue (fig. 240).
Espace oculo-malaire environ 1,5 fois la largeur basale des mandibules.
Espace oculo-ocellaire 1,4 fois plus grand que la distance séparant les ocelles postérieurs.

Apanteles bellatulus simulator ♂.
Tête (vue de profil) courte (fig. 245).
Espace oculo-malaire environ égal à la largeur basale des mandibules.
Espace oculo-ocellaire 1,8 fois plus grand que la distance séparant les ocelles postérieurs.

Apanteles bellatulus ♂.

Antennes égales à la longueur du corps plus 1 fois tête + thorax (fig. 241).

Thorax pas aplati antérieurement.

Ponctuation bien séparée seulement à la partie apicale du dorsum du mésonotum.

Disque du scutellum distinctement ponctué près des bords latéraux.

Seules les carènes apicales de l'aréole du propodeum faibles et peu distinctes.

Costules situées au milieu du propodeum.

Propodeum rugoso-ponctué à rugueux basalement aux costules.

Tergite I fortement convexe médialement et à sculpture bien marquée.

Longueur médiane du tergite II égale à la largeur apicale du I.

Longueur : 3,2 à 3,5 mm.

Apanteles bellatulus simulator ♂.

Antennes égales à la longueur du corps plus 2 fois la tête (fig. 246).

Thorax un peu aplati antérieurement.

Ponctuation bien séparée sur tout le dorsum du mésonotum.

Disque du scutellum totalement dépourvu de ponctuation.

Toutes les carènes de l'aréole du propodeum, ainsi que les costules, faibles et peu distinctes.

Costules situées vers le tiers apical du propodeum.

Propodeum à peu près lisse basalement aux costules.

Tergite I à peine convexe médialement et à sculpture faible.

Longueur médiane du tergite II, 1,28 fois plus courte que la largeur apicale du I.

Longueur : 2,8 mm.

DISTRIBUTION GÉOGRAPHIQUE : vers Rweru, volcan Mikeno, forêt de Bambous (alt. 2.400 m., 3.VII.1934); 1 exemplaire holotype ♂.

OBSERVATIONS : Malgré la grande différence présentée par la conformation de la tête, je suis amené, pour le moment, à ne considérer cette forme que comme une aberration de *Ap. bellatulus*.

98. — *Apanteles wittei* sp. n.

(Fig. 247-250.)

♀ : noire; pattes I et II (excepté la base des hanches sur une longueur variable, parfois seulement l'extrême apex, et l'onychium), extrême apex des hanches et le restant des pattes III (sauf une enfumure apicale aux tibias et les tarsi, ceux-ci brunâtres) ainsi que la base de la costale, rouge testacé; palpes et éperons des tibias III, pâles; partie membraneuse de l'hypopygium, brun rougeâtre; ailes hyalines à soies colorées; stigma hyalin, à bord brun rougeâtre; nervures brun pâle, à peine colorées vers la base de l'aile, costale parfois presque entièrement décolorée.

♂ : semblable aux caractères décrits ci-dessus, excepté : toutes les hanches, tibias I sur la face supérieure, tibias II (sauf la face inférieure dans la moitié basale), trochanters, trochantelles, fémurs et moitié apicale des tibias des pattes III, tarsi II et III, noirs ou noir brunâtre; costale un peu moins testacée, stigma hyalin comme chez la ♀.

♀. *Tête* : ligne faciale plus courte que la transfaciale; face un peu renflée comme chez *Ap. pelops* (fig. 291), brillante, à petite ponctuation (degré 1)

densément placée, mais superficielle; clypéus faiblement différencié de la face; ostioles faciales beaucoup plus près de l'apex du clypéus que des yeux; vertex et occiput ponctués à peu près comme la face, le premier moins et le second plus densément ou tout au moins à ponctuation mieux marquée sur ce dernier; ocelles postérieurs plus près l'un de l'autre que des yeux; antennes de la longueur du corps; 1^{er} article du flagellum 4 fois plus long que large, les deux articles préapicaux égaux (fig. 247).

Thorax : mésonotum assez plat, brillant, à ponctuation (degré 3) dense antérieurement, devenant ensuite plus forte (degré 5) et espacée, plus profonde et espacée, d'un peu moins que le diamètre des pointillés, le long des lignes des notaulices, légèrement plus superficielle et en moyenne plus espacée que le diamètre des pointillés au milieu, plus petite et plus dense (degré 4) près des bords latéraux, ponctuation totalement absente près de l'apex, les intervalles, entre la ponctuation, lisses et très brillants; sillon pré-scutellaire arqué, irrégulièrement et faiblement crénelé; disque du scutellum plat, entièrement lisse, poli, brillant, à apex tronqué, de moitié moins large que la largeur basale, à bords latéraux légèrement cintrés; mésopleures lisses et brillants, sauf une ponctuation antérieure superficielle, cochléar à peine apparent; suture méso-métapleurale distinctement crénelée; métapleurales lisses antérieurement, un peu rugueux près du bord coxal, à sillon médian lisse; propodeum brillant, lisse, sauf près des carènes et parfois un peu rugueux dans l'aréole et les aires apicales, aréole tronquée à l'apex, sa longueur médiane environ égale à sa largeur apicale, les carènes apicales parallèles, les carènes basales convergentes, parfois plus ou moins arrondies, leur point de jonction situé un peu avant le milieu du propodeum et relié à la base de celui-ci par une carène longitudinale médiane, costules situées au tiers apical du propodeum, parfois obliques postéro-antérieurement, toutes ces carènes faibles, irrégulières et mal marquées (fig. 248).

Ailes : 1^{re} abcisse de la radiale un peu plus courte que la largeur du stigma et 1/4 plus longue que la transverso-cubitale avec laquelle elle ne forme qu'un angle faible, leur point de jonction peu distinct sinon par l'épaississement qu'elles forment à ce point; partie apicale de la 1^{re} abcisse de la cubitale et partie pigmentée de la 2^e abcisse, d'égale longueur, environ les 2/3 de la récurrente; stigma plus court que le métacarpe (fig. 249).

Pattes III : hanches brillantes, imperceptiblement ponctuées, virtuellement lisses sur les faces supérieure et externe, dépourvues de facette plane en dessus à la base. Proportions : hanches, 18/28; fémurs, 11/40; tibias, 8/50; tarsi : I, 25; II, 11; III, 9; IV, 6; V, 8; les éperons des tibias subégaux, le plus long près de la moitié de la longueur des métatarses.

Abdomen (fig. 250) : tergite I excavé à la base, courbé au milieu, modérément proéminent dans la partie médiane et assez plat vers l'apex, brillant. striolé longitudinalement à la base et latéralement jusqu'à l'apex, rugueux dans la partie médiane proéminente, sa longueur médiane 1,22 fois sa lar-

geur apicale et 1,46 fois sa largeur basale (22 : 18 : 15), ses bords latéraux droits et légèrement divergents jusqu'à l'apex faiblement émarginé au milieu, angles apicaux non arrondis; tergite II légèrement convexe au milieu, très brillant et entièrement lisse, sauf quelques rares petites soies apicales,

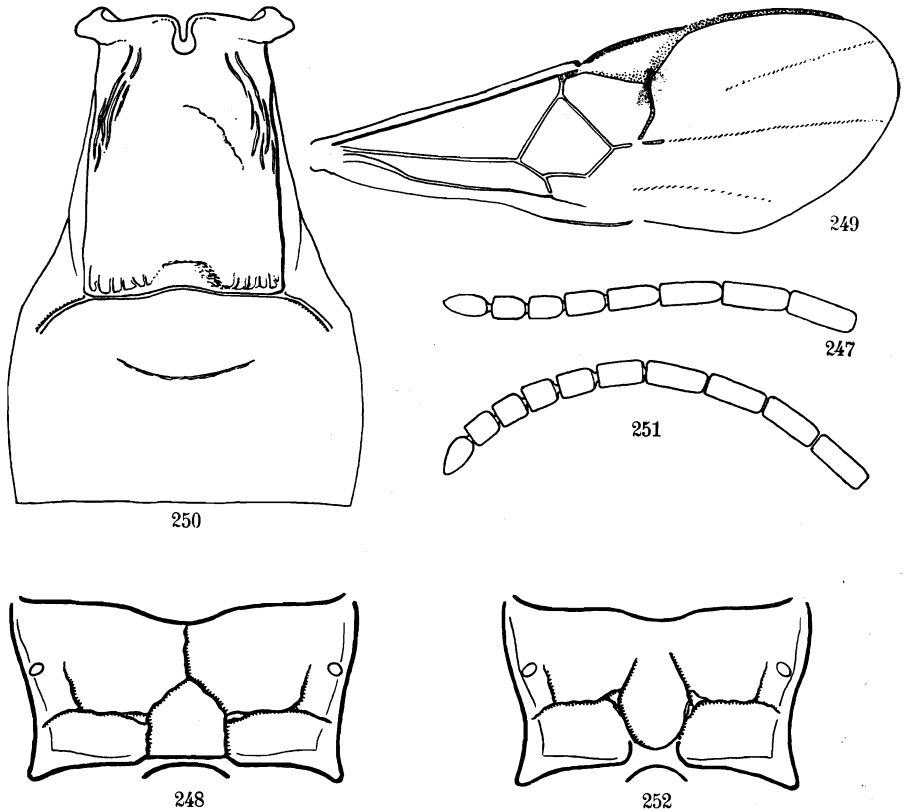


Fig. 247-250. — *Apanteles wittei* sp. n. ♀.

Fig. 247. — Sommet de l'antenne.

Fig. 248. — Schéma de l'aréolation du propodeum.

Fig. 249. — Détail de la nervation de l'aile antérieure.

Fig. 250. — Détail des trois premiers tergites abdominaux.

Fig. 251. — *Apanteles wittei anthracomerus* ab. n., sommet de l'antenne ♀.

Fig. 252. — *Apanteles wittei sake* ab. n., schéma de l'aréolation du propodeum.

peu distinctes, et les sillons latéraux, ceux-ci habituellement plus courts que la longueur médiane du tergite, très divergents et peu marqués, parfois le tégument présente quelques plissements superficiels à la base; longueur médiane du tergite 2,25 fois plus courte que la largeur apicale du I et 1,37 fois plus courte que la longueur médiane du III (8 : 18 : 11) : 2° suture absente latéralement, marquée seulement au milieu par un sillon mince, fortement

arqué et limitant la convexité discale du tergite II; tergite III brillant et lisse sauf une très petite ponctuation, très espacée, localisée latéralement dans la moitié apicale; hypopygium à apex aigu et à partie inférieure membraneuse peu développée; valves de la tarière plus longues que les fémurs III, mais un peu plus courtes que les tibias III chez le type (un autre spécimen possède des valves un peu plus longues que les tibias).

La longueur médiane du tergite II est variable, parfois très courte.

♂ : Concorde à la description ci-dessus, excepté les caractères suivants :

Thorax : aréolation du propodeum moins nettement marquée, à carènes faibles, ponctuation, basalement aux costules, plus longuement sétigère.

Abdomen : tergite I superficiellement rugueux, plus lisse vers l'apex, non aciculé latéralement, 1,66 fois plus long que ses largeurs apicale et basale (20 : 12 : 12), à bords latéraux parallèles; tergite II moins transverse, sa longueur médiane égale aux 2/3 de la largeur apicale du I et 1,37 fois plus courte que celle du III (8 : 12 : 11).

Longueur : 3 à 3,2 mm.

DISTRIBUTION GÉOGRAPHIQUE : Rweru, volcan Mikeno, forêt de Bambous (alt. 2.400 m., 26-27.VII.1934), holotype ♀, 1 paratype ♀; Nyabirehe, au pied du volcan Karisimbi, Ruanda (alt. 2.000 m., 22.II.1935); lac Kanyamenoni, vers le volcan Musule (alt. 2.300 m., 14.VIII.1934), allotype ♂, 1 paratype ♀; Ngesho (alt. 2.000 m., 3-6.IV.1934); volcan Visoke (alt. 2.800-3.300 m., 13-14.II.1935); 9 exemplaires : 2 ♂♂, 7 ♀♀.

AFFINITÉS : Cette espèce se place, dans la clef de WILKINSON, avec l'espèce éthiopienne *Ap. eros* WILKN., dont elle se différencie par de nombreux caractères et, en particulier, par la taille, la coloration et la longueur des valves de la tarière.

Apanteles wittei, est caractérisé par le léger aplatissement et la ponctuation du mésonotum, la forme et la sculpture du 1^{er} tergite abdominal ainsi que l'absence de 2^e suture, à peine esquissée au milieu. Ces caractères le rapprochent fortement de l'espèce malaise *Ap. baoris* WILKN., dont le stigma est également hyalin discalement et bordé de pigmentations; *Ap. wittei* en diffère, cependant, par la coloration des pattes, une ponctuation du mésonotum plus forte (ce caractère est, toutefois, sous la dépendance d'une interprétation personnelle — je n'ai pas vu le type de *Ap. baoris*), le disque du scutellum lisse, une sculpture un peu différente du propodeum et du 1^{er} tergite abdominal, ainsi que la 2^e suture probablement, dans sa diagnose WILKINSON ne donne aucune indication sur ce dernier caractère. Je note également, comme WILKINSON le fait pour *Ap. baoris*, une certaine variation dans les proportions du 1^{er} tergite, mais sans que l'aspect général en soit particulièrement modifié. Il est très possible que *Ap. wittei* soit une race géographique de *Ap. baoris*, d'autant plus que l'hôte de ce dernier, l'Hes-

péride *Pelopidas mathias* MOORE (= *Parnara*) est répandu en Afrique. La comparaison avec le type de cette espèce serait nécessaire.

Apanteles wittei s'apparente également à l'espèce éthiopienne *Ap. carterus* WILKN., notamment par la forme du 2^e tergite abdominal, il s'en sépare facilement, toutefois, par la sculpture du propodeum.

a) ***Apanteles wittei anthracomerus*** ab. n.

(Fig. 251.)

Les caractères de cette aberration sont ceux décrits pour l'espèce, excepté les suivants :

♀. *Coloration* : toutes les hanches et fémurs noirs; tarses des pattes I, stries sur la face supérieure des fémurs, moitié apicale des tibias et tarses des pattes II, tibias (sauf la base) et tarses des pattes III, brun noirâtre; ailes légèrement enfumées dans la moitié distale; costale brun foncé entièrement; stigma brun, opaque, marqué d'une éclaircie dans l'angle proximal, petite, mais bien distincte; nervures brun clair.

♀. *Tête* : face un peu plus fortement ponctuée; antennes plus distinctement épaissies distalement; 1^{er} article du flagellum 4 fois plus long que large, articles préapicaux plus courts et subcarrés (fig. 251).

Thorax : ponctuation du mésonotum plus irrégulière en force et en espacement, parfois accompagnée d'une petite aciculation longitudinale intervallaire; les intervalles, en tout cas, jamais aussi brillants, ni polis; partie basale de l'aréole du propodeum plus longue, la carène longitudinale médiane reliant l'aréole à la base du propodeum, par suite, plus courte souvent très mal marquée, à peine distincte.

Ailes : 1^{re} abcisse de la cubitale et transverso-cubitale d'égale longueur et formant un angle plus accusé, leur point de jonction plus discernable; sommet de la basale distinctement plus court que la partie pigmentée de la 2^e abcisse de la cubitale; ailes moins amples.

Pattes III : hanches pourvues d'une facette plane en dessus à la base, portant quelques ponctuations bien séparées.

Abdomen : valves de la tarière un peu plus longues que les tarses III.

Longueur : 2,8 à 3,0 mm. : ♂, inconnu.

DISTRIBUTION GÉOGRAPHIQUE : Kinyamahura, Djomba (alt. 1.800 m., 23.VIII.1934), holotype ♀; Ngesho (alt. 2.000 m., 3-6.IV.1934), paratype; Kibga, volcan Visoke, Ruanda (alt. 2.400 m., 8-9.II.1935), paratype; vers Rweru, volcan Mikeno, forêt de Bambous (alt. 2.400 m., 26-27.VII.1934); Kanyabayongo, Kabasha (alt. 1.760 m., 7.XII.1934); Kalondo, lac Ndaraga, Mokoto (alt. 1.750 m., 22-27.III.1934); 7 exemplaires ♀ ♀.

AFFINITÉS : Par la coloration sombre des fémurs III, cette aberration se place, dans la clef de WILKINSON, avec l'espèce vitienne *Ap. platydrae* WILKN.

parasite du Gelechiide *Platyedra gossypiella* SAUND., mais l'éclaircie proximale du stigma et surtout l'apex du 1^{er} tergite abdominal, distinctement plus large que la base, sont des caractères qui l'en séparent, sans aucun doute, de même que l'absence de sculpture sur le 2^e tergite.

b) **Apanteles wittei sake** ab. n.

(Fig. 252.)

Semblable à l'aberration précédente, excepté les caractères suivants :

♀. *Coloration* : tarses des pattes I, rouge testacé; tibias à peine enfumés à l'apex; fémurs III plutôt brun noirâtre que noir; ailes hyalines, nervures à peine colorées sauf celles sous le stigma, éclaircie dans l'angle proximal de celui-ci, petite.

♀. *Thorax* : mésonotum à ponctuation plus petite (degré 4), régulière, les pointillés séparés par une distance moindre que leur propre diamètre, légèrement plus forts le long des lignes des notaulices, plus faibles et plus superficiels latéralement, ne laissant qu'une étroite bande lisse à l'apex; disque du scutellum marqué de quelques pointillés bien séparés près des bords latéraux; aréolation du propodeum différente, l'aréole est arrondie à l'apex, les carènes apicales un peu divergentes, les carènes basales ne se rejoignent pas et laissent ainsi l'aréole ouverte, aucune carène médiane ne relie celle-ci à la base du propodeum, tégument marqué de quelques ponctuations basalement aux costules, ailleurs rugueux, à rugules peu étroitement placées, plus fines dans l'aréole (fig. 252).

♂ : semblable à la ♀ excepté les caractères suivants : propodeum à peu près lisse basalement aux costules, ponctuation extrêmement superficielle; hanches III dépourvues de facette plane en dessus à la base; tergite I 2 fois plus long que sa largeur apicale (20 : 10), ses bords latéraux un peu incurvés vers la moitié, rugueux-ruguleux dans la moitié apicale; longueur médiane du tergite II égale à la moitié de la largeur apicale du I et 2,4 fois plus courte que celle du III (5 : 10 : 12), ses sillons latéraux moins bien marqués.

Longueur : ♂, 2,7 mm.; ♀, 2,8 mm.

DISTRIBUTION GÉOGRAPHIQUE : Sake, lac Kivu (alt. 1.460 m., 19-22.II.1934), holotype ♀; Ngesho (alt. 2.000 m., 3-6.IV.1934); lac Magera (alt. 2.000 m., 27-28.II.1934); Tshengelero, près de Munagana (alt. 1.750 m., 21.VIII.1934); Kalondo, lac Ndaraga, Mokoto (alt. 1.750 m., 22-27.III.1934); Nyabirehe, au pied du volcan Karisimbi, Ruanda (alt. 2.000 m., 22.II.1935), allotype ♂; Kamatembe, forêt près de la rivière Bishakishaki (alt. 2.100 m., 14-17.IV.1934); 9 exemplaires : 6 ♂♂, 3 ♀♀.

AFFINITÉS : Les notables différences dans la ponctuation du mésonotum et dans l'aréolation du propodeum, pourraient faire admettre cette aberration comme une espèce différente, toutefois, tous les autres caractères et l'aspect général la rattachent bien à *Ap. wittei*.

Dans la clef de WILKINSON, cette aberration correspond à l'espèce éthiopienne *Ap. diparopsidis* LYLE, mais, chez celui-ci, le propodeum est subgranuleux et le 1^{er} tergite abdominal, réticulé. *Apanteles wittei* ab. *sake* présente beaucoup plus d'affinité avec l'espèce vitienne *Ap. platyedrae* WILKN., chez laquelle le mésonotum est beaucoup plus brillant et poli entre les punctuations, comme cela se présente chez *Ap. wittei*.

c) ***Apanteles wittei kamatembe*** ab. n.

Aberration semblable à l'espèce, à l'exception des caractères suivants :

♀. *Coloration* : ailes légèrement enfumées, stigma brun, opaque, marqué d'une petite éclaircie dans l'angle proximal; nervures brun clair; fémurs III parfois noircis sur la face supérieure; enfumure apicale des tibias III plus prononcée.

♀. *Thorax* : tégument du mésonotum moins brillant; carènes apicales de l'aréole du propodeum courtes, environ égales aux 2/3 de la largeur apicale de l'aréole, par suite, les costules sont situées distinctement plus près de l'apex, les carènes basales convergent jusqu'à la base du propodeum où elles ne paraissent, cependant, pas se rejoindre et où aucune trace de carène longitudinale médiane n'est présente, tégument distinctement ponctué basalement aux costules, ponctuation superficielle et largement espacée.

Pattes III : hanches pourvues d'une facette plane ponctué, en dessus à la base.

Abdomen : valves de la tarière à peu près de la longueur des tarsi III.

Longueur : 2,9 mm.; ♂, inconnu.

DISTRIBUTION GÉOGRAPHIQUE : Kamatembe, riv. Bishakishaki (alt. 2.100 m., 11-22.IV.1934), holotype ♀; Ngesho (alt. 2.000 m., 3-6.IV.1934); vers Rweru, volcan Mikeno, forêt de Bambous (alt. 2.400 m., 3, 26-27.VII.1934); Munagana, Djomba (alt. 2.000 m., 23.VIII.1934); Nyabirehe (alt. 2.000 m., 22.II.1935); lac Magera (alt. 2.000 m., 6.III.1934); Kalondo, lac Ndaraga, Mokoto (alt. 1.750 m., 22-27.III.1934); Tshengelero, près de Munagana (alt. 1.750 m., 17.VIII.1934); 13 exemplaires ♀ ♀.

OBSERVATIONS : Un des exemplaires originaires de Kamatembe ainsi que celui de Ngesho ne sont pas exactement semblables à l'holotype; ils en possèdent la plupart des caractères généraux mais présentent de fortes différences dans l'aréolation du propodeum et la sculpture du 1^{er} tergite abdominal.

AFFINITÉS : Cette aberration se rapproche fortement de *Ap. diparopsidis* LYLE, à laquelle elle correspond également dans la clef de WILKINSON, toutefois le propodeum ne peut être considéré comme subgranuleux, ni le 1^{er} tergite abdominal comme réticulé.